

---

---

## О СЛОЖНОСТИ СХЕМ В НЕКОТОРЫХ БАЗИСАХ, СОДЕРЖАЩИХ НЕТРИВИАЛЬНЫЕ ЭЛЕМЕНТЫ С НУЛЕВЫМИ ВЕСАМИ \*)

Э. И. НЕЧИПОРУК

(ЛЕНИНГРАД)

Одной из основных задач теории схем является задача о построении методов синтеза схем, реализующих функции алгебры логики и содержащих возможно меньшее число элементов. Точнее, указанная задача может быть сформулирована следующим образом. Функции алгебры логики реализуются схемами [1] из некоторого класса \*\*) над базисом, состоящим из множества  $\mathfrak{Z}$  элементов с нулевыми весами, реализующих множество функций  $Z$ , и множества  $\mathfrak{E}$  элементов с положительными весами, реализующих множество функций  $E$ . Каждой схеме  $\Theta$  сопоставляется число  $L(\Theta)$ , называемое весом, определяемое как сумма весов всех входящих в схему базисных элементов. Определяются функции, введенные впервые Шенноном [2]:  $L(f) = \inf L(\Theta)$  ( $\inf$  берется по всем допустимым схемам, реализующим функцию  $f$ ) и  $L(n) = \max L(f)$  (максимум берется по всем функциям алгебры логики от  $n$  аргументов). Требуется получить оценки функции  $L(n)$ .

Указанная задача в частных случаях имеет следующий содержательный смысл: требуется подсчитать минимальное число элементов некоторых сортов, необходимое для реализации произвольной функции алгебры логики от  $n$  аргументов, при использовании произвольного числа элементов других сортов.

В случае, когда множество  $\mathfrak{Z}$  пусто или содержит лишь элементы для функций не более чем одного аргумента, О. Б. Лупановым были получены асимптотические выражения функции  $L(n)$  вида  $C \frac{2^n}{n}$  для ряда классов схем с произвольной топологией и асимптотические выражения вида  $C \frac{2^n}{\log_2 n}$  для классов суперпозиций. В случае нетривиального непустого множества  $\mathfrak{Z}$  первый результат — точное выражение для  $L(f)$  порядка  $\log_2 n$  для схем \*\*\*)<sup>3</sup>, построенных из элементов веса 0, реализующих дизъюнкции и конъюнкции, и элементов веса 1, реализующих инверсии, — был получен А. А. Марковым [6].

\*) Краткое изложение результатов этой работы содержится в [13—15].

\*\*) Например, в качестве классов схем могут быть взяты класс всех контактных схем, класс контактных  $\Pi$ -схем, класс контактно-вентильных схем, класс схем из функциональных элементов [3], класс суперпозиций [12] и др.

\*\*\*) Схемы из функциональных элементов могут рассматриваться как суперпозиции, в которых отождествлены одинаковые подформулы. Соответственно отличается определение веса  $L(\Theta)$ : в случае схем вес есть сумма весов всех базисных элементов, которые являются внешними в нетождественных подформулах (а в случае суперпозиций — сумма весов вообще всех базисных элементов).

В настоящей работе получены следующие результаты: точное выражение для  $L(f)$  порядка  $n$  для суперпозиций в базисе, который рассматривал А. А. Марков; асимптотические выражения вида  $C2^{n/2}$  для схем из функциональных элементов и асимптотические выражения вида  $C\frac{2^n}{n}$  для суперпозиций в некоторых базисах с непустым множеством  $\mathfrak{Z}$ . Улучшены также нижняя и верхняя оценки для минимального числа контактов в контактно-вентильных схемах по сравнению с известными оценками [4].

В работе приняты следующие обозначения. В качестве множества аргументов принято множество  $\{\underline{x}_1, \dots, \underline{x}_n, \dots\}$ . Набор аргументов  $(x_1, \dots, x_n)$  будем обозначать через  $\underline{x}$ , произвольный набор значений аргументов из  $x$  будем обозначать через  $\tilde{\sigma}$ . Различные подмножества набора  $\underline{x}$  будем обозначать через  $\tilde{x}_{\mathfrak{M}}$ , где  $\mathfrak{M}$  — некоторая (возможно пустая) система индексов; произвольный набор значений аргументов из  $\tilde{x}_{\mathfrak{M}}$  будем обозначать через  $\tilde{\sigma}_{\mathfrak{M}}$ . Будем обозначать через  $\tilde{\sigma}^{\mathfrak{M}}$  индивидуальные наборы  $\tilde{\sigma}$ , где  $\mathfrak{M}$  — некоторая система индексов. Для наглядности формул некоторые подмножества набора  $\underline{x}$  в отдельных случаях будем обозначать другими буквами. Обозначение  $\tilde{y}$  является общим для любого конечного подмножества множества аргументов  $\{x_1, \dots, x_n, \dots\}$ ; через  $\tilde{\alpha}$  будем обозначать набор значений аргументов из  $\tilde{y}$ .

### § 1. Суперпозиции в базисе, в котором

$$L(y_1 \& y_2) = L(y_1 \vee y_2) = 0, \quad L(\neg y) = 1$$

Рассмотрим базис  $\mathfrak{A}$ , где  $Z(\mathfrak{A}) = \{y_1 \& y_2, y_1 \vee y_2, 0, 1\}$ ,  $E(\mathfrak{A}) = \{\neg y\}$ , в котором вес элемента, реализующего инверсию, равен 1. Вес суперпозиции в этом случае равен числу входящих в суперпозицию элементов, реализующих инверсию. Ниже устанавливается минимальное число элементов, реализующих инверсию, необходимое для реализации суперпозициями такого вида произвольной индивидуальной функции алгебры логики (индивидуальная функция Шеннона —  $L(f)$ ).

Назовем цепью множество  $\{\tilde{\sigma}^0, \dots, \tilde{\sigma}^n\}$   $n$ -мерных наборов значений аргументов  $\underline{x}$  таких, что выполняются неравенства \*)

$$\tilde{\sigma}^0 < \tilde{\sigma}^1 < \dots < \tilde{\sigma}^n.$$

Из определения следует, что для любого  $j = 0, \dots, n-1$  набор  $\tilde{\sigma}^{j+1}$  содержит ровно на одну единицу больше, чем набор  $\tilde{\sigma}^j$  и  $\tilde{\sigma}^0 = \tilde{0}$ ,  $\tilde{\sigma}^n = \tilde{1}$ , где через  $\tilde{0}$  (через  $\tilde{1}$ ) обозначен набор, состоящий из одних нулей (единиц). Занумеруем все цепи при фиксированном  $n$ ;  $k$ -ю цепь обозначим через  $\omega_k$ ,  $\omega_k = \{\tilde{\sigma}^k, 0, \dots, \tilde{\sigma}^k, n\}$ . Пусть  $\xi(\underline{x})$  — произвольная функция алгебры логики. Набор  $\tilde{\sigma}^k, j'$  назовем *отрицательным (положительным) инверсионным узлом* (сокращенно: о. и. у. или п. и. у.) пары  $(\xi, \omega_k)$ , если  $\xi(\tilde{\sigma}^k, j') = 1$ ,  $\xi(\tilde{\sigma}^k, j'+1) = 0$  (соответственно  $\xi(\tilde{\sigma}^k, j') = 0$ ,  $\xi(\tilde{\sigma}^k, j'+1) = 1$ ). Обозначим через  $M_k^-[\xi]$  ( $M_k^+[\xi]$ ) число о. и. у. (п. и. у.) пары  $(\xi, \omega_k)$ ; введем функции  $M^-[\xi] = \max_k M_k^-[\xi]$ ,  $M^+[\xi] = \max_k M_k^+[\xi]$ .

\*) Для наборов  $\tilde{\sigma}' = (\sigma'_1, \dots, \sigma'_n)$  и  $\tilde{\sigma}'' = (\sigma''_1, \dots, \sigma''_n)$  мы пишем  $\tilde{\sigma}'' \leq \tilde{\sigma}'$ , если  $\sigma'_i \leq \sigma''_i$  для всех  $i$ ,  $1 \leq i \leq n$ , и  $\tilde{\sigma}' < \tilde{\sigma}''$ , если  $\tilde{\sigma}' \leq \tilde{\sigma}''$  и для некоторого  $i_0$  выполнено строгое неравенство  $\sigma'_{i_0} < \sigma''_{i_0}$ .

Характеристическую функцию множества  $Q$  наборов обозначим через  $\chi(Q)$ .

Справедливы следующие очевидные леммы.

**Лемма 1. 1)** Всякий о. и. у. (п. и. у.) одной из пар  $(\xi \& \eta, \omega_k)$ ,  $(\xi \vee \eta, \omega_k)$  есть о. и. у. (п. и. у.) одной из пар  $(\xi, \omega_k)$ ,  $(\eta, \omega_k)$ .

**2)** Всякий о. и. у. (п. и. у.) пары  $(\neg \xi, \omega_k)$  есть п. и. у. (о. и. у.) пары  $(\xi, \omega_k)$ .

**Лемма 2.**  $M_k^+[\xi] - M_k^-[\xi] = \xi(\tilde{1}) - \xi(\tilde{0})$ .

**Теорема 1.** Для суперпозиций в базисе  $\mathfrak{A}$

$$L(f) = M^-[f]. \quad (1.1)$$

**Доказательство.** Нижняя оценка. В силу лемм 1, 2,

$$M_k^-[\xi \& \eta] \leq M_k^-[\xi] + M_k^-[\eta], \quad (1.2a)$$

$$M_k^-[\xi \vee \eta] \leq M_k^-[\xi] + M_k^-[\eta], \quad (1.2b)$$

$$M_k^-[\neg \xi] \leq M_k^-[\xi] + 1. \quad (1.2c)$$

Пусть  $f(\tilde{x})$  — произвольная функция. Всякая формула, реализующая эту функцию и являющаяся суперпозицией в базисе  $\mathfrak{A}$ , имеет один из видов:  $A \& B$ ,  $A \vee B$ ,  $\neg A$ , где  $A, B$  — подформулы данной формулы. Применяя неравенства (1.2a) — (1.2c) последовательно к подформулам формулы, на которой достигается  $L(f)$ , в силу равенств

$$M^-[ \neg x_i ] = L( \neg x_i ) = 1, \quad M^-[ x_i ] = L( x_i ) = 0, \quad i = 1, \dots, n,$$

получим

$$M^-[f] \leq L(f).$$

Легко построить функцию  $\xi$ , принимающую значение 1 только на  $\left\lceil \frac{n}{2} \right\rceil$  \*) наборах, которые расположены на одной цепи  $\omega_k$  и являются отрицательными инверсионными узлами пары  $(\xi, \omega_k)$ . Отсюда следует, что

$$\left\lceil \frac{n}{2} \right\rceil \leq L(n). \quad (1.3)$$

**Верхняя оценка.** Докажем сначала неравенство

$$L(n) \leq \left\lceil \frac{n}{2} \right\rceil. \quad (1.4)$$

Назовем *нормой* набора число разрядов набора, равных 1; норму набора  $\tilde{\alpha}$  обозначим через  $\|\tilde{\alpha}\|$ . В множестве наборов  $\tilde{\sigma}$  выделим  $t$  групп  $(t \leq \frac{n+1}{2})$  так, чтобы  $l$ -я группа содержала все наборы с нормой  $2l$  или  $2l+1$ ,  $l = 0, \dots, t-1$ . Обозначим через  $\chi_l$  характеристическую функцию  $l$ -й группы, через  $\chi$  — характеристическую функцию набора  $\tilde{1}$ ; функция  $\chi_l$  является симметрической функцией  $S_{2l, 2l+1}$ , функция  $\chi$  является симметрической функцией  $S_n$  (см. [8]). Образуем функцию

$$f_t = \bigvee_{s=0}^t f \chi_s.$$

Назовем функцию  $\eta$  монотонно возрастающей (убывающей), если из  $\tilde{\sigma}^1 \leq \tilde{\sigma}^2$  следует  $\eta(\tilde{\sigma}^1) \leq \eta(\tilde{\sigma}^2)$  ( $\eta(\tilde{\sigma}^1) \geq \eta(\tilde{\sigma}^2)$ ). Обозначим через  $\xi^+$  ( $\xi^-$ ) наименьшую монотонно возрастающую (убывающую) функцию такую,

\*)  $\lceil a \rceil$  обозначает наименьшее целое число, не меньшее числа  $a$ ;  $[a]$  обозначает наибольшее целое число, не большее числа  $a$ , т. е. целую часть числа  $a$ .

что  $\xi \leq \xi^+ (\xi \leq \xi^-)$ . В силу принципа двойственности функция  $\neg(\xi^-)$  всегда монотонно возрастающая.

Имеет место равенство

$$f\chi_s = (f\chi_s)^+ \& (f\chi_s)^-.$$

Отсюда

$$f_t = \bigvee_{s=0}^t (f\chi_s)^+ \& \neg(\neg((f\chi_s)^-)).$$

Далее,

$$f = \begin{cases} f ] \frac{n}{2} [ & \text{при } n \text{ нечетном,} \\ f ] \frac{n}{2} [ \vee f\chi & \text{при } n \text{ четном.} \end{cases}$$

Отсюда следует неравенство (1.4), так как  $L(\eta) = 0$  для всякой монотонно возрастающей функции  $\eta$ .

Учитывая (1.3), получаем

$$L(n) = \left] \frac{n}{2} \right[.$$

Докажем теперь неравенство  $L(f) \leq M^-[f]$ . Обозначим через  $R_k(\tilde{\sigma})$  число о. и. у. пары  $(f, \omega_k)$ , не меньших набора  $\tilde{\sigma}$ ; число  $\max_k R_k(\tilde{\sigma})$  назовем

глубиной набора  $\tilde{\sigma}$ . Обозначим через  $Q_s$  множество всех наборов глубины  $s$ . Множества  $Q_s$  не пересекаются, и

$$\chi(\bigcup_{s=0}^{M^-[f]} Q_s) = 1.$$

Следовательно,

$$f = f\chi(Q_0) \vee \bigvee_{s=1}^{M^-[f]} f\chi(Q_s).$$

Легко видеть, что функция  $f\chi(Q_0)$  монотонно возрастающая.

Образуем функции

$$\begin{aligned} g_{s'} &= (f\chi(\bigcup_{0 \leq s'' \leq s'} Q_{s''}))^+, \quad 0 \leq s' \leq M^-[f], \\ h_s &= \neg((f\chi(Q_s))^-), \quad 1 \leq s \leq M^-[f]. \end{aligned}$$

Докажем равенство

$$f\chi(Q_s) = g_s \& \neg h_s. \tag{1.5}$$

Справедливы отношения

$$\begin{aligned} (\xi \vee \eta)^+ &= \xi^+ \vee \eta^+, \\ (\xi \vee \eta)^- &= \xi^- \vee \eta^-, \\ (\xi \& \eta)^+ &\leq \xi^+ \& \eta^+, \\ (\xi \& \eta)^- &\leq \xi^- \& \eta^-. \end{aligned}$$

Действительно, если  $(\xi \vee \eta)^+(\tilde{\sigma}) = 1$ , то существует набор  $\tilde{\sigma}^1$  такой, что  $\tilde{\sigma}^1 \leq \tilde{\sigma}$  и  $(\xi \vee \eta)(\tilde{\sigma}^1) = 1$ ; отсюда следует, что  $\xi(\tilde{\sigma}^1) = 1$  или  $\eta(\tilde{\sigma}^1) = 1$ ; далее,  $\xi^+(\tilde{\sigma}) = 1$ , или  $\eta^+(\tilde{\sigma}) = 1$ , и  $\xi^+(\tilde{\sigma}) \vee \eta^+(\tilde{\sigma}) = 1$ . Эти рассуждения

можно провести в обратном порядке, что и доказывает первое равенство.  
Доказательство остальных отношений аналогично.

Таким образом,

$$g_s = (f \vee_{0 \leq s'' \leq s} \chi(Q_{s''}))^+ = \vee_{0 \leq s'' \leq s} (f \chi(Q_{s''}))^+$$

и

$$g_s \& \neg h_s = \vee_{0 \leq s'' \leq s} (f \chi(Q_{s''}))^+ \& (f \chi(Q_s))^+.$$

В силу определения множеств  $Q_s$ , справедливы следующие утверждения:

- 1) если  $s'' < s$  и  $\tilde{\sigma}^1 \in Q_{s''}$ ,  $\tilde{\sigma}^2 \in Q_s$ , то  $\tilde{\sigma}^1 \not\ll \tilde{\sigma}^2$  (т. е. не существует набора  $\tilde{\sigma}$  такого, что  $\tilde{\sigma}^1 \ll \tilde{\sigma} \ll \tilde{\sigma}^2$ );
- 2) если  $\tilde{\sigma}^1, \tilde{\sigma}^2 \in Q_s$  и  $\tilde{\sigma}^1 \ll \tilde{\sigma} \ll \tilde{\sigma}^2$ , то  $\tilde{\sigma} \in Q_s$ ;
- 3) если  $\tilde{\sigma}^1, \tilde{\sigma}^2 \in Q_s$ ,  $\tilde{\sigma}^1 \ll \tilde{\sigma}^2$ , то  $f(\tilde{\sigma}^1) \leq f(\tilde{\sigma}^2)$ .

Из первого утверждения следует, что при  $s'' < s$

$$(\chi(Q_{s''}))^+ \& (\chi(Q_s))^+ = 0, \quad (1.6)$$

откуда

$$g_s \& \neg h_s = (f \chi(Q_s))^+ \& (f \chi(Q_s))^+.$$

Из второго утверждения следует равенство

$$(\chi(Q_s))^+ \& (\chi(Q_s))^+ = \chi(Q_s). \quad (1.7)$$

Действительно, пусть функция, представляемая левой частью последнего равенства, равна 1 на наборе  $\tilde{\sigma}$ ; тогда оба члена конъюнкции равны 1, и существуют наборы  $\tilde{\sigma}^1, \tilde{\sigma}^2$  такие, что  $\tilde{\sigma}^1 \ll \tilde{\sigma} \ll \tilde{\sigma}^2$  и  $\chi(Q_s)(\tilde{\sigma}^1) = \chi(Q_s)(\tilde{\sigma}^2) = 1$ , т. е.  $\tilde{\sigma}^1, \tilde{\sigma}^2 \in Q_s$ , следовательно,  $\tilde{\sigma} \in Q_s$  и  $\chi(Q_s)(\tilde{\sigma}) = 1$ . Если равна 1 правая часть, то левая часть также равна 1 в силу определения функций  $\xi^+, \xi^-$ .

С помощью утверждения 3, подобно тому, как доказывалось равенство (1.7), получаем доказательство равенства

$$(f \chi(Q_s))^+ \& (f \chi(Q_s))^+ = f \& \chi(Q_s),$$

которое завершает доказательство равенства (1.5).

Получаем следующее представление функции:

$$f = g_0 \vee \bigvee_{s=1}^{M^-[f]} g_s \& \neg h_s, \quad (1.8)$$

где  $g_0, g_s, h_s$  — монотонно возрастающие функции, откуда следует

$$L(f) \leq M^-[f].$$

Это неравенство совместно с нижней оценкой дает равенство (1.1).  
Теорема доказана.

**З а м е ч а н и е 1.** Функции  $g_s, h_s$  из (1.8), определяемые в доказательстве, образуют частично упорядоченное множество, изображенное на рис. 1 (стрелка от узла, соответствующего функции  $\xi$ , к узлу, соответствующему функции  $\eta$ , изображает неравенство  $\xi < \eta$ ).

Чтобы убедиться в справедливости этого, установим неравенства

$$(f\chi(Q_{s-1}))^- > (f\chi(Q_s))^- \quad (1.9a)$$

$$\bigvee_{0 \leq s'' \leq s-1} (f\chi(Q_{s''}))^+ < \neg(f\chi(Q_s))^- \quad (1.9b)$$

Пусть  $(f\chi(Q_s))^- (\tilde{\sigma}) = 1$ , тогда существует набор  $\tilde{\sigma}^1$  такой, что  $\tilde{\sigma} \leq \tilde{\sigma}^1$  и  $\chi(Q_s)(\tilde{\sigma}^1) = 1$ , т. е.  $\tilde{\sigma}^1 \in Q_s$ . В силу определения множества  $Q_s$  существует набор  $\tilde{\sigma}^2$  такой, что  $\tilde{\sigma}^1 < \tilde{\sigma}^2$  и  $\tilde{\sigma}^2 \in Q_{s-1}$ ,  $f(\tilde{\sigma}^2) = 1$ , откуда следует, что  $(f\chi(Q_{s-1}))^- (\tilde{\sigma}) = 1$ . Таким образом,

$$(f\chi(Q_{s-1}))^- \geq (f\chi(Q_s))^-.$$

Так как на о. и. у. глубины  $s - 1$  части последнего неравенства различны, то оно может быть заменено строгим неравенством (1.9a). Неравенство (1.9b) следует из (1.6).

Представление (1.8) остается в силе и для  $g_{s'} = (f\chi(Q_{s'}))^+$ , но при этом нарушаются указанная частичная упорядоченность функций  $g_{s'}, h_s$ .

**З а м е ч а н и е 2.** Если  $f \neq \text{const}$ , теорема, как легко видеть, остается справедливой и в базисах, получающихся из  $\mathfrak{A}$  исключением одной или обеих констант.

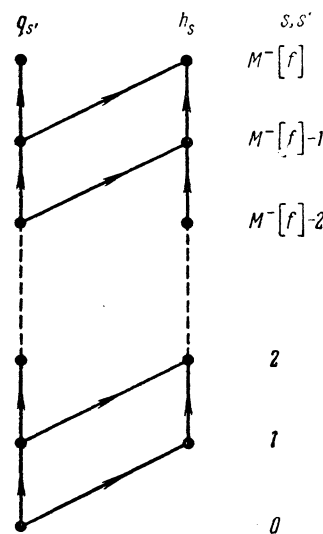


Рис. 1.

## § 2. Суперпозиции в базисе, в котором $L(y_1 \vee y_2) = 0$ , $L(\neg y) = 1$

Рассмотрим базис  $\mathfrak{S}$ , где  $Z(\mathfrak{S}) = \{y_1 \vee y_2\}$ ,  $E(\mathfrak{S}) = \{\neg y\}$ , и вес элемента, реализующего инверсию, равен 1.

**Т е о р е м а 2.** Для суперпозиций в базисе  $\mathfrak{S}$

$$L(n) \sim \frac{2^n}{n}.$$

**Д о к а з а т е л ь с т в о.** Нижняя оценка. Применимый здесь метод получения нижней оценки будет использован также в следующем параграфе, а вводимые понятия используются также в §§ 5, 7.

Будем говорить, что вершина  $M_v$  схемы подается в вершину  $M_w$  схемы, если либо  $M_v$  совпадает с  $M_w$ , либо в схеме существует последовательность из  $\lambda$  элементов  $D_l$ ,  $l = 1, \dots, \lambda$ , веса 0 (в данном случае элементов, реализующих дизъюнкцию) такая, что вершина  $M_v$  совпадает с одним из входов элемента  $D_1$ , выход элемента  $D_{l'}$  совпадает с одним из входов элемента  $D_{l'+1}$ ,  $l' = 1, \dots, \lambda - 1$ , и выход элемента  $D_\lambda$  совпадает с вершиной  $M_w$ \*).

Сопоставим всякой схеме  $\mathfrak{A}$  граф  $Q(\mathfrak{A})$  и систему чисел, приписанных всем его вершинам. Будем называть эти числа индексами вершин.

Граф  $Q(\mathfrak{A})$  определим следующим образом. Занумеруем в схеме  $\mathfrak{A}$  все элементы из множества  $E$ ; пусть их имеется  $h$  штук, обозначим их через  $\varphi_1, \dots, \varphi_h$ . Граф  $Q(\mathfrak{A})$  содержит  $h + 1$  вершину  $M_0, M_1, \dots, M_h$ . Вершины  $M_v, M_w$  соединим ориентированным ребром  $(M_v, M_w)$  при  $w \neq 0$  (при  $w = 0$ ) тогда и только тогда, когда выход  $v$ -го элемента схемы подается

\*) Термины «вход» и «выход» употребляются здесь и ниже вместо терминов «входной полюс», «выходной полюс», принятых в [3].

на вход  $w$ -го элемента (на выход схемы). Очевидно, что в случае, если схема  $\mathfrak{A}$  — суперпозиция, граф  $Q(\mathfrak{A})$  однозначно определяется заданием некоторого дерева с корнем [3] (получается из дерева ориентацией всех ребер в направлении к корню).

Определим теперь индексы вершин. Занумеруем произвольным образом всевозможные дизъюнкции аргументов из  $x$  числами  $1, \dots, 2^n$ . Пусть  $\mathfrak{M}_w$  — множество номеров аргументов, приписанных входам схемы, подаваемым на вход элемента  $\varphi_w$  (на выход схемы при  $w=0$ ). Индексом вершины  $M_w$  назовем номер дизъюнкции

$$\bigvee_{i \in \mathfrak{M}_w} x_i.$$

Граф  $Q(\mathfrak{A})$  и система индексов его вершин однозначно определяют функцию, предstawляемую исходной суперпозицией  $\mathfrak{A}$ .

Обозначим через  $S(h, n)$  число функций от  $n$  аргументов, реализуемых суперпозициями веса  $h$ . Так как число деревьев с корнем, содержащих  $h+1$  вершину (и, следовательно,  $h$  ребер), не превосходит  $4^h$  (см. [3]), то в силу предыдущего

$$S(h, n) \leq 4^h 2^{n(h+1)}.$$

Для того чтобы суперпозициями веса  $h$  можно было реализовать любую функцию алгебры логики от  $n$  аргументов, необходимо, чтобы выполнялось неравенство  $S(h, n) \geq 2^{2^n}$ . Решая это неравенство относительно  $h$  и заменяя  $h$  на  $L(n)$ , получаем нижнюю оценку.

Верхняя оценка. Обозначим через  $\kappa(\tilde{y})$  число разрядов в наборе  $\tilde{y}$ . Аргументы  $\tilde{x}$  разобьем на 3 группы:  $\tilde{x} = (\tilde{x}_1, \tilde{x}_2, \tilde{x}_3)$ , где  $\kappa(\tilde{x}_1) = k$ ,  $\kappa(\tilde{x}_2) = v$ ,  $\kappa(\tilde{x}_3) = u$ . Конъюнцию \*)  $y_1^{\alpha_1} \& \dots \& y_{\kappa(\tilde{y})}^{\alpha_{\kappa(\tilde{y})}}$  обозначим через  $K_{\tilde{\alpha}}(\tilde{y})$ , где  $\tilde{\alpha} = (\alpha_1, \dots, \alpha_{\kappa(\tilde{y})})$ ; через  $K_{\tilde{\alpha}}^-(\tilde{y})$  обозначим конъюнкцию всех букв, входящих в  $K_{\tilde{\alpha}}(\tilde{y})$  с инверсиями, т. е.  $K_{\tilde{\alpha}}^-(\tilde{y}) = \&_{i=0}^{\alpha_i=0} \neg y_i$ . Обозначим через  $D_{\tilde{\alpha}}(\tilde{y})$  дизъюнкцию  $y_1^{\alpha_1} \vee \dots \vee y_{\kappa(\tilde{y})}^{\alpha_{\kappa(\tilde{y})}}$ . Очевидно,

$$K_{\tilde{\alpha}}(\tilde{y}) = \neg D_{\neg \tilde{\alpha}}(\tilde{y})$$

(символ  $\neg \tilde{\alpha}$  обозначает набор, элементы которого суть инверсии соответствующих элементов набора  $\tilde{\alpha}$ ). Обозначим через  $\|\tilde{\alpha}\|^-$  число разрядов набора  $\tilde{\alpha}$ , равных 0. Поэтому

$$\|\tilde{\alpha}\| + \|\tilde{\alpha}\|^- = \kappa(\tilde{\alpha}).$$

Опишем одно представление функций. Введем функции

$$f_i(\tilde{x}) = S_i(\tilde{x}_1, \tilde{x}_2) f(\tilde{x}),$$

где  $S_i(\tilde{x}_1, \tilde{x}_2)$  — характеристическая функция множества наборов, имеющих норму  $i$ , т. е. симметрическая функция с рабочим числом  $i$ . Справедливы равенства

$$f(\tilde{x}) = \bigvee_{i=0}^{k+v} f_i(\tilde{x}), \quad (2.1)$$

$$f_i(\tilde{x}) = S_i(\tilde{x}_1, \tilde{x}_2) \bigvee_{\tilde{\sigma}_3} K_{\tilde{\sigma}_3}(\tilde{x}_3) M_{i, \tilde{\sigma}_3}(\tilde{x}_1, \tilde{x}_2), \quad (2.2)$$

\*)  $y^\alpha = \begin{cases} y & \text{при } \alpha=1, \\ \neg y & \text{при } \alpha=0. \end{cases}$

где

$$M_{i, \tilde{\sigma}_3}(\tilde{x}_1, \tilde{x}_2) = \bigvee_{\tilde{\sigma}_1, \tilde{\sigma}_2} f_i(\tilde{\sigma}_1, \tilde{\sigma}_2, \tilde{\sigma}_3) K_{\tilde{\sigma}_1}(\tilde{x}_1) K_{\tilde{\sigma}_2}(\tilde{x}_2)$$

(можно считать, что в последней формуле  $\|\tilde{\sigma}_1\| + \|\tilde{\sigma}_2\| = i$ , т. е.  $\|\tilde{\sigma}_1\|^+ + \|\tilde{\sigma}_2\|^+ = k + v - i$ ).

Перепишем формулу (2.2) в виде

$$f_i(\tilde{x}) = \neg \{ \neg S_i(\tilde{x}_1, \tilde{x}_2) \vee \neg [ \bigvee_{\tilde{\sigma}_3} \neg (\neg K_{\tilde{\sigma}_3}(\tilde{x}_3) \vee \neg M_{i, \tilde{\sigma}_3}(\tilde{x}_1, \tilde{x}_2)) ] \}. \quad (2.3)$$

Далее,

$$M_{i, \tilde{\sigma}_3}(\tilde{x}_1, \tilde{x}_2) = \bigvee_{j=k-i}^{\min(k, k+v-i)} M_{i, \tilde{\sigma}_3, j}(\tilde{x}_1, \tilde{x}_2), \quad (2.4)$$

где

$$M_{i, \tilde{\sigma}_3, j}(\tilde{x}_1, \tilde{x}_2) = \bigvee_{\|\tilde{\sigma}_1\|^+=j} K_{\tilde{\sigma}_1}(\tilde{x}_1) \bigvee_{\|\tilde{\sigma}_2\|^+=k+v-i-j} f_i(\tilde{\sigma}_1, \tilde{\sigma}_2, \tilde{\sigma}_3) K_{\tilde{\sigma}_2}(\tilde{x}_2). \quad (2.5)$$

Из (2.5) следует, что функцию  $M_{i, \tilde{\sigma}_3, j}$  можно задать таблицей с двумя входами, имеющей  $C_k^j$  строк и  $C_v^{k+v-i-j}$  столбцов (таблица 1). Применим

Т а б л и ц а 1

$\tilde{x}_1$	$\tilde{x}_2$	...	$\tilde{\sigma}_2$	...	
.	.	.	.	.	$A_1$
.	.	.	.	.	.
.	.	.	.	.	.
$\tilde{\sigma}_1$	.....	$M_{i, \tilde{\sigma}_3, j}(\tilde{\sigma}_1, \tilde{\sigma}_2)$			$A_v$
					.
					.
					$A$
					$] \frac{C_k^j}{s} [$

к таблице 1 идею разбиения О. Б. Лупанова [3], доставляющего правильное представление функции. Разобьем строки матрицы, определяющей значения функции, на полосы  $A_1, \dots, A_r$ , содержащие по  $s$  строк,

$$\left] \frac{C_k^j}{s} \right[$$

кроме, быть может, одной, содержащей меньшее число строк. Столбцы полосы  $A_r$  разбиваются на группы одинаковых между собой столбцов, занумеруем эти группы числами  $l = 1, \dots, t(r)$ . Обозначим через  $M_{i, \tilde{\sigma}_3, j, r, l}$  функцию, совпадающую с  $M_{i, \tilde{\sigma}_3, j}$  на столбцах  $l$ -й группы полосы  $A_r$  и рав-

ную 0 в остальных случаях. Имеем

$$M_{i, \tilde{\sigma}_3, j} = \bigvee_{r=1}^{\left\lceil \frac{C_k^j}{s} \right\rceil} \bigvee_{l=1}^{t(r)} M_{i, \tilde{\sigma}_3, j, r, l}. \quad (2.6)$$

Далее,

$$M_{i, \tilde{\sigma}_3, j, r, l} = M_{i, \tilde{\sigma}_3, j, r, l}^{(1)}(\tilde{x}_1) \& M_{i, \tilde{\sigma}_3, j, r, l}^{(2)}(\tilde{x}_2), \quad (2.7)$$

где

$$M_{i, \tilde{\sigma}_3, j, r, l}^{(1)}(\tilde{x}_1) = \bigvee K_{\tilde{\sigma}_1}(\tilde{x}_1) \quad (2.8)$$

(дизъюнкция берется по множеству наборов  $\tilde{\sigma}_1$ , определяющих строки, соответствующие ненулевым элементам столбцов  $l$ -й группы полосы  $A_r$ ) и

$$M_{i, \tilde{\sigma}_3, j, r, l}^{(2)}(\tilde{x}_2) = \bigvee K_{\tilde{\sigma}_2}(\tilde{x}_2) \quad (2.9)$$

(дизъюнкция берется по множеству наборов  $\tilde{\sigma}_2$ , определяющих столбцы  $l$ -й группы полосы  $A_r$ ).

Подстановки формул (2.8), (2.9) в (2.7), (2.7) в (2.6), (2.6) в (2.4), (2.4) в (2.3) и (2.3) в (2.1) дают требуемое представление функции  $f(\tilde{x})$ . Имеем.

$$L(\neg K_{\tilde{\sigma}_3}(\tilde{x}_3)) \leq u,$$

$$L(K_{\tilde{\sigma}_t}(\tilde{x}_t)) = 1, \quad t = 1, 2 *),$$

$$L(M_{i, \tilde{\sigma}_3, j}) \leq \left( \frac{C_k^j}{s} + 1 \right) ((s+3) 2^s + C_v^{k+v-i-j}),$$

$$L(\neg S_i) \leq (k+v) 2^{k+v},$$

$$\begin{aligned} L(f) &\leq (k+v+1) [(k+v) 2^{k+v} + 2 + (u+2) 2^u] + \\ &+ 2^u \sum_{i=0}^{k+v} \sum_{j=k-i}^{\min(k, k+v-i)} L(M_{i, \tilde{\sigma}_3, j}) \leq Cn(n 2^{k+v} + n^2 2^{s+u} + 2^{k+s+u} + 2^{v+u}) + \frac{2^n}{s}, \end{aligned}$$

где  $C$  — некоторая константа.

Положим  $k = 3[\log_2 n]$ ,  $u = 4[\log_2 n]$ ,  $s = [n - 10 \log_2 n]$ . Тогда  $L(n) \leq \frac{2^n}{n} **$ ). Теорема доказана.

### § 3. Суперпозиции в базисах, в которых $L(y_1 \oplus y_2 \oplus y_3) = 0 ***$ , $L(y_1 \& y_2) = 1$

Пост показал [9], что существует всего 5 классов линейных функций алгебры логики, замкнутых относительно суперпозиций и содержащих функции более, чем от одного аргумента. Список классов с их базисами приведен в таблице 2.

\*) Непустая конъюнкция  $K_{\alpha}(\tilde{y})$  представляется в виде инверсии дизъюнкции некоторых аргументов, пустая конъюнкция представляется в виде  $y \vee \neg y$ .

\*\*)  $a \leq b$  означает, что  $\lim_{n \rightarrow \infty} \frac{a}{b} \leq 1$ .

\*\*\*) Символы  $\oplus$ ,  $\sum$  обозначают сложение по mod 2.

Таблица 2

Класс	Функции класса	Базис
$L_1$	Все линейные функции	$y_1 \oplus y_2, 1$
$L_2$	$\sum_{i=1}^{2t} y_i \oplus 1, \sum_{i=1}^{2t+1} y_i$	$y_1 \oplus y_2 \oplus 1$
$L_3$	$\sum_{i=1}^t y_i$	$y_1 \oplus y_2$
$L_4$	$\sum_{i=1}^{2t+1} y_i$	$y_1 \oplus y_2 \oplus y_3$
$L_5$	$\sum_{i=1}^{2t+1} y_i \oplus 1, \sum_{i=1}^{2t+1} y_i$	$y_1 \oplus y_2 \oplus y_3 \oplus 1$

Очевидно, что

$$L_4 \subseteq L_j \subseteq L_1, \quad j = 1, \dots, 5. \quad (3.1)$$

Рассмотрим базисы  $\Lambda_j$ ,  $j = 1, \dots, 5$ , с множеством  $Z(\Lambda_j)$ , состоящим из функций, образующих указанный в таблице базис класса  $L_j$  и с  $E(\Lambda_j) = \{y_1 \& y_2\}$ ,  $L(y_1 \& y_2) = 1$  при  $j = 1, 5$ ,  $E(\Lambda_j) = \{y_1 \& y_2, \neg y\}$ ,  $L(y_1 \& y_2) = L(\neg y) = 1$  при  $j = 2, 3, 4$ .

Теорема 3. Для суперпозиций в базисе  $\Lambda_j$ ,  $j = 1, \dots, 5$ ,

$$L(n) \sim \frac{2^{n-1}}{n}.$$

Обозначим через  $L_j(n)$  функцию  $L(n)$  в базисе  $\Lambda_j$ . В силу (3.1)

$$L_1(n) \ll L_j(n) \ll L_4(n), \quad j = 1, \dots, 5.$$

Поэтому достаточно получить асимптотически равные нижнюю оценку в базисе  $\Lambda_1$  и верхнюю оценку в базисе  $\Lambda_4$ .

Доказательству теоремы 3 предшествуют две алгебраические леммы.

Лемма 1. Для любого  $n$  можно так упорядочить все наборы длины  $n$  из нулей и единиц, отличные от нулевого набора, что любые  $n$  последовательных наборов будут линейно независимы (относительно сложения по mod 2).

Доказательство. Пусть  $\xi$  — первообразный корень поля  $GF(2^n)$ . Тогда  $\xi$  является корнем некоторого неприводимого полинома

$$a_0 + a_1 x + \dots + a_{n-1} x^{n-1} + x^n$$

степени  $n$  над  $GF(2)$  (и потому не является корнем никакого полинома над  $GF(2)$  меньшей степени). Поэтому

$$\xi^n = a_0 + a_1 \xi + \dots + a_{n-1} \xi^{n-1},$$

и все степени корня  $\xi$  выражаются в виде полиномов от  $\xi$  (над  $GF(2)$ ) степени не более  $n - 1$ . Пусть

$$\xi^k = a_{k,0} + a_{k,1} \xi + \dots + a_{k,n-1} \xi^{n-1}.$$

Так как при  $1 \leq k \leq 2^n - 1$  элементы  $\xi^k$  различны, то различны и все наборы  $\tilde{\alpha}_k = (a_{k,0}, \dots, a_{k,n-1})$ . Наборы  $\tilde{\alpha}_k, \dots, \tilde{\alpha}_{k+n-1}$ ,  $1 \leq k \leq 2^n - n$ ,

линейно независимы, так как в противном случае существовала бы линейная зависимость (с теми же коэффициентами) между  $\xi^k, \dots, \xi^{k+n-1}$  и корень  $\xi$  являлся бы корнем полинома степени не выше  $n - 1$ , что невозможно.

**Следствие.** Для любого  $n$  существует множество  $n \left[ \frac{2^n - 1}{n} \right]$  наборов из нулей и единиц длины  $n$ , которое можно разбить на  $\left[ \frac{2^n - 1}{n} \right]$  групп по  $n$  наборов в каждой группе, такое, что наборы внутри каждой группы линейно независимы.

Действительно, в  $k$ -ю группу наборов,  $k = 1, \dots, \left[ \frac{2^n - 1}{n} \right]$ , можно отнести наборы

$$\tilde{a}_{kn+1}, \dots, \tilde{a}_{(k+1)n}.$$

**Лемма 2.** Пусть  $\chi(\tilde{x})$  — характеристическая функция системы линейно независимых наборов  $\tilde{\sigma}^1, \dots, \tilde{\sigma}^n$  длины  $n$ . Тогда для любой конъюнкции  $K_{\tilde{\sigma}^i}(\tilde{x})$  существует линейная функция (без свободного члена)  $l_i(\tilde{x})$  такая, что

$$K_{\tilde{\sigma}^i}(\tilde{x}) = \chi(\tilde{x}) l_i(\tilde{x}), \quad (3.2)$$

причем при  $i \neq j$

$$\chi(\tilde{x}) l_i(\tilde{x}) l_j(\tilde{x}) = 0. \quad (3.3)$$

**Доказательство.** Пусть  $\tilde{x}_0 = (x_{0,1}, \dots, x_{0,n})$ . Рассмотрим множество наборов  $\{\tilde{e}^1, \dots, \tilde{e}^n\}$  длины  $n$ , образующих сферу единичного радиуса с центром в нулевом наборе (в  $\tilde{e}^i$  только  $i$ -ая компонента равна 1). Обозначим через  $\chi_0(\tilde{x}_0)$  характеристическую функцию этого множества. Очевидно,

$$K_{\tilde{e}^i}(\tilde{x}_0) = \chi_0(\tilde{x}_0) x_{0,i}.$$

Пусть теперь аргументы  $\tilde{x}$  получены из аргументов  $\tilde{x}_0$  линейным преобразованием \*)

$$\tilde{x} = \tilde{A} \tilde{x}_0$$

(сложение по  $\text{mod } 2$ ), где  $i$ -м столбцом матрицы  $\tilde{A}$  является набор  $\tilde{\sigma}^i$ . В силу линейной независимости наборов  $\tilde{\sigma}^1, \dots, \tilde{\sigma}^n$  матрица  $\tilde{A}$  неособенная. Так как

$$K_{\tilde{e}^i}(\tilde{x}_0) = K_{\tilde{\sigma}^i}(\tilde{x})$$

и

$$\chi_0(\tilde{x}_0) = \sum_{i=1}^n K_{\tilde{e}^i}(\tilde{x}_0),$$

$$\chi(\tilde{x}) = \sum_{i=1}^n K_{\tilde{\sigma}^i}(\tilde{x}),$$

то

$$K_{\tilde{\sigma}^i}(\tilde{x}) = \chi(\tilde{x}) x_{0,i}.$$

\*) Во всем тексте настоящей работы, за исключением ниже следующего доказательства леммы 2, ради удобства, для наборов  $\tilde{x}_N, \tilde{\sigma}_N$  принята строчная запись, хотя по существу они являются столбцами, в качестве каковых и фигурируют ниже.

Далее, из  $\tilde{x} = \tilde{A}\tilde{x}_0$  вытекает

$$x_{0,i} = (\tilde{b}_i, \tilde{x}),$$

где  $\tilde{b}_i$  —  $i$ -я строка матрицы  $\tilde{A}^{-1}$ , а  $(\tilde{b}_i, \tilde{x})$  — скалярное произведение векторов, т. е. линейная функция. Отсюда следует (3.2). Равенство (3.3) следует из (3.2) в силу того, что при  $i \neq j$

$$K_{\sigma^i}(\tilde{x}) K_{\sigma^j}(\tilde{x}) = 0.$$

Лемма 2 доказана.

Перейдем к доказательству теоремы 3.

Нижняя оценка для  $L(n)$  в базисе  $\Lambda_1$ . Сопоставим всякой схеме  $\mathfrak{U}$  граф  $Q(\mathfrak{U})$ , систему чисел, приписанных его вершинам (индексы вершин), и систему чисел, приписанных его ребрам (индексы ребер).

Граф  $Q(\mathfrak{U})$  определим так же, как и в предыдущем параграфе.

Занумеруем входы элемента  $\varphi_w$  числами  $m = 1, 2$  (по определению  $Q(\mathfrak{U})$  и базиса  $\Lambda_1$  все элементы  $\varphi_w$  реализуют конъюнкцию). Занумеруем произвольным образом всевозможные пары линейных функций от аргументов  $\tilde{x}$  числами  $1, \dots, 2^{2(n+1)}$ . Пусть  $\mathfrak{M}_{w,m}$  — множество номеров аргументов, приписанных входам схемы, подаваемым на  $m$ -й вход элемента  $\varphi_w$ . Индексом вершины  $M_w$  при  $w \neq 0$  назовем номер пары функций

$$\left( \sum_{i \in \mathfrak{M}_{w,1}} x_i, \sum_{i \in \mathfrak{M}_{w,2}} x_i \right).$$

Занумеруем произвольным образом всевозможные линейные функции от аргументов  $\tilde{x}$  числами  $1, \dots, 2^{n+1}$ . Пусть  $\mathfrak{M}_0$  — множество номеров аргументов, приписанных входам схемы, подаваемым на ее выход. Индексом вершины  $M_0$  назовем номер функции

$$\sum_{i \in \mathfrak{M}_0} x_i.$$

Индексом ребра  $(\overrightarrow{M_v}, \overrightarrow{M_w})$  при  $w \neq 0$  назовем номер входа элемента  $\varphi_w$ , на который подается выход элемента  $\varphi_v$ . Ребром  $(\overrightarrow{M_v}, \overrightarrow{M_0})$  припишем индекс 1.

Граф  $Q(\mathfrak{U})$  и системы индексов его вершин и ребер однозначно определяют функцию, представляемую исходной суперпозицией  $\mathfrak{U}$ .

Имеем (см. предыдущий параграф)

$$S(h, n) \leq 8^h 2^{2(n+1)h+n+1}.$$

Отсюда, как в предыдущем параграфе, следует нижняя оценка.

Верхняя оценка для  $L(n)$  в базисе  $\Lambda_4$ . Аргументы  $\tilde{x}$  разобьем на три группы:  $x = (\tilde{x}_1, \tilde{x}_2, \tilde{x}_3)$ , где

$$\kappa(\tilde{x}_1) = s, \quad \kappa(\tilde{x}_2) = q = n - s - u, \quad \tilde{x}_3 = (z_1, \dots, z_u), \quad u = 2^r.$$

Во множестве иенулевых наборов значений аргументов  $\tilde{x}_1$  выделим систему  $\{V_k\}$  непересекающихся групп

$$V_k = \{\tilde{\sigma}_1^{k,1}, \dots, \tilde{\sigma}_1^{k,s}\}, \quad k = 1, \dots, \left[ \frac{2^s - 1}{s} \right],$$

по  $s$  наборов в каждой группе так, чтобы все наборы одной группы были линейно независимы (следствие из леммы 1). Обозначим через  $\chi_k(\tilde{x}_1)$  характеристическую функцию множества  $V_k$  и через  $l_{k,i}(\tilde{x}_1)$  такую

линейную функцию, что  $\chi_k(\tilde{x}_1) l_{k,i}(\tilde{x}_1) = K_{\tilde{\sigma}_1^k, i}(\tilde{x}_1)$  (лемма 2). Оставшиеся наборы, включая нулевой, занумеруем числами  $t$  и обозначим через  $\tilde{\tau}_t$ ,  $t=1, \dots, d$ ,  $d \leq s$ .

Множество наборов значений аргументов  $\tilde{x}_3$  разобьем на сферы [5] радиуса 1, занумеруем их числами  $p$  и обозначим через  $U_p$ ,  $p=1, \dots, \frac{2^u}{u}$ , центр сферы  $U_p$  обозначим через  $\tilde{\xi}_p = (\xi_{p,1}, \dots, \xi_{p,u})$ . Характеристическую функцию сферы  $U_p$  обозначим через  $\psi_p(\tilde{x}_3)$ , и пусть  $\tilde{\xi}_{p,j} = (\xi_{p,1}, \dots, \xi_{p,j-1}, \neg\xi_{p,j}, \xi_{p,j+1}, \dots, \xi_{p,u})$ .

Всякая функция алгебры логики  $f(\tilde{x})$  представляется в виде

$$\begin{aligned} f(\tilde{x}_1, \tilde{x}_2, \tilde{x}_3) &= \sum_{t=1}^d K_{\tilde{\tau}_t}(\tilde{x}_1) f(\tilde{\tau}_t, \tilde{x}_2, \tilde{x}_3) \oplus \sum_{k=1}^{\left[\frac{2^s-1}{s}\right]} \chi_k(\tilde{x}_1) \& \\ &\& \left( \sum_{p=1}^{\frac{2^u}{u}} \psi_p(\tilde{x}_3) \left( \sum_{\tilde{\sigma}_2} K_{\tilde{\sigma}_2}(\tilde{x}_2) \left( \sum_{j=1}^u z_j \neg\xi_{p,j} \sum_{i=1}^s l_{k,i}(\tilde{x}_1) f(\tilde{\sigma}_1^{k,i}, \tilde{\sigma}_2, \tilde{\xi}_{p,j}) \right) \right) \right). \end{aligned} \quad (3.4)$$

Введем формулы  $A_{k,p,\tilde{\sigma}_2,j}$ ,  $B_{k,p,\tilde{\sigma}_2,j}$ ,  $C_{k,p,\tilde{\sigma}_2}$ :

$$A_{k,p,\tilde{\sigma}_2,j} = z_j \neg\xi_{p,j} \oplus \sum_{i=1}^s l_{k,i}(\tilde{x}_1) f(\tilde{\sigma}_1^{k,i}, \tilde{\sigma}_2, \tilde{\xi}_{p,\frac{u}{2}+j}),$$

$$B_{k,p,\tilde{\sigma}_2,j} = z_{\frac{u}{2}+j} \neg\xi_{p,\frac{u}{2}+j} \oplus \sum_{i=1}^s l_{k,i}(\tilde{x}_1) f(\tilde{\sigma}_1^{k,i}, \tilde{\sigma}_2, \tilde{\xi}_{p,j}),$$

$$C_{k,p,\tilde{\sigma}_2} = \sum_{j=1}^u \sum_{i=1}^s l_{k,i}(\tilde{x}_1) f(\tilde{\sigma}_1^{k,i}, \tilde{\sigma}_2, \tilde{\xi}_{p,j}) f(\tilde{\sigma}_1^{k,i}, \tilde{\sigma}_2, \tilde{\xi}_{p,\frac{u}{2}+j}).$$

Из (3.3), (3.4) следует

$$\begin{aligned} f(\tilde{x}_1, \tilde{x}_2, \tilde{x}_3) &= \sum_{t=1}^d K_{\tilde{\tau}_t}(\tilde{x}_1) f(\tilde{\tau}_t, \tilde{x}_2, \tilde{x}_3) \oplus \\ &\oplus \sum_{k=1}^{\left[\frac{2^s-1}{s}\right]} \chi_k(\tilde{x}_1) \left( \sum_{p=1}^{\frac{2^u}{u}} \psi_p(\tilde{x}_3) \left( \sum_{\tilde{\sigma}_2} K_{\tilde{\sigma}_2}(\tilde{x}_2) \left( C_{k,p,\tilde{\sigma}_2} \oplus \sum_{j=1}^u A_{k,p,\tilde{\sigma}_2,j} B_{k,p,\tilde{\sigma}_2,j} \right) \right) \right). \end{aligned} \quad (3.5)$$

Преобразуем выражение (3.5) так, чтобы играющие основную роль линейные функции  $A_{k,p,\tilde{\sigma}_2,j}$ ,  $B_{k,p,\tilde{\sigma}_2,j}$  перешли в линейные функции из  $L_4$ . Пусть  $\delta$  — произвольный оператор, т. е. отображение множества функций алгебры логики в себя. Введем формулу

$$\begin{aligned} D_{k,p,\tilde{\sigma}_2}^{(\delta)} &= \sum_{j=1}^{\frac{u}{2}} [\delta(A_{k,p,\tilde{\sigma}_2,j})(B_{k,p,\tilde{\sigma}_2,j} \oplus \delta(B_{k,p,\tilde{\sigma}_2,j})) \oplus \\ &\oplus \delta(B_{k,p,\tilde{\sigma}_2,j})(A_{k,p,\tilde{\sigma}_2,j} \oplus \delta(A_{k,p,\tilde{\sigma}_2,j})) \oplus \delta(A_{k,p,\tilde{\sigma}_2,j}) \delta(B_{k,p,\tilde{\sigma}_2,j})]. \end{aligned}$$

Из (3.5) следует

$$\begin{aligned} f(\tilde{x}_1, \tilde{x}_2, \tilde{x}_3) &= \sum_{t=1}^d K_{\tilde{\tau}_t}(\tilde{x}_1) f(\tilde{\tau}_t, \tilde{x}_2, \tilde{x}_3) \oplus \\ &\oplus \sum_{k=1}^{\left[\frac{2^s-1}{s}\right]} \chi_k(\tilde{x}_1) \left( \sum_{p=1}^{2^u} \psi_p(\tilde{x}_3) \left( \sum_{\tilde{\sigma}_2} K_{\tilde{\sigma}_2}(\tilde{x}_2) \left( C_{k,p,\tilde{\sigma}_2} \oplus D_{k,p,\tilde{\sigma}_2}^{(0)} \oplus \right. \right. \right. \\ &\quad \left. \left. \left. \oplus \sum_{j=1}^{\frac{u}{2}} (A_{k,p,\tilde{\sigma}_2,j} \oplus \delta(A_{k,p,\tilde{\sigma}_2,j})) (B_{k,p,\tilde{\sigma}_2,j} \oplus \delta(B_{k,p,\tilde{\sigma}_2,j})) \right) \right) \right). \end{aligned}$$

Введем оператор  $\delta$ , преобразующий всякую функцию в линейную функцию от одного аргумента:

$$\delta(\varphi) = \varphi(\tilde{0}) \oplus x(\varphi(\tilde{1}) \oplus \neg \varphi(\tilde{0})),$$

где  $x$  — некоторый аргумент из  $\tilde{x}$ . Тогда

$$D_{k,p,\tilde{\sigma}_2}^{(0)} = xl_{k,p,\tilde{\sigma}_2}^1 \oplus l_{k,p,\tilde{\sigma}_2}^2,$$

где  $l_{k,p,\tilde{\sigma}_2}^1, l_{k,p,\tilde{\sigma}_2}^2$  — линейные функции. Если  $\varphi$  — линейная функция, то

$$\varphi \oplus \delta(\varphi) \in L_4.$$

Очевидно,

$$L(K_{\tilde{\tau}_t}(\tilde{x}_1)) < 2s, \quad L(f(\tilde{\tau}_t, \tilde{x}_2, \tilde{x}_3)) \leq (q+u) 2^{q+u+1}, \quad L(\chi_k(\tilde{\sigma}_1)) < Cs^2,$$

$$L(\psi_p(\tilde{x}_3)) < Cu^2, \quad L(K_{\tilde{\sigma}_2}(\tilde{x}_2)) < 2q, \quad L(D_{k,p,\tilde{\sigma}_2}^{(0)}) \leq C',$$

где  $C, C'$  — некоторые константы.

Имеем

$$\begin{aligned} L(n) &< L(0) + d.(2s+1+(q+u)2^{q+u+1}) + \\ &\quad + \frac{2^s}{s} \left\{ Cs^2 + 1 + \frac{2^u}{u} \left( Cu^2 + 1 + 2^q \left( 2q + 3 + C' + \frac{u}{2} \right) \right) \right\}. \end{aligned}$$

Положим  $r = [\log_2 \log_2 n] + 3$ ,  $q = 2[\log_2 \log_2 n]$ ,  $s = n - q - u$ ; тогда  $L(n) \leq \frac{2^{n-1}}{n}$ .

Теорема доказана.

#### § 4. Контактно-вентильные схемы

Рассмотрим двухполюсные контактно-вентильные схемы, реализующие функции алгебры логики как проводимости от входного полюса к выходному.

Обозначим через  $\tilde{L}(n)$  минимальное число такое, что всякую функцию алгебры логики от  $n$  аргументов можно реализовать некоторой контактно-вентильной схемой, содержащей  $\tilde{L}(n)$  контактов. Число  $\tilde{L}(n)$  можно рассматривать как функцию Шенна в базисе с весом вентилей, равным 0, и весом контактов, равным 1.

Известны оценки

$$\frac{1}{2} 2^{n/2} \leq \tilde{L}(n) \leq \begin{cases} 2 \cdot 2^{n/2} & \text{при } n \text{ четном,} \\ \frac{3}{\sqrt{2}} \cdot 2^{n/2} & \text{при } n \text{ нечетном.} \end{cases} \quad (4.1)$$

Нижняя оценка доказана в [4], верхняя следует из [4] при уточнении, получаемом с помощью теоремы 1 в [5].

Улучшенные оценки дают следующая

Теорема 4.

$$2^{n/2} \leq \tilde{L}(n) \leq 2 \cdot 2^{n/2}.$$

**Доказательство.** Нижняя оценка. Занумеруем в схеме все узлы числами  $\alpha$  и все ребра числами  $\beta$ ; будем обозначать узел с номером  $\alpha$  через  $M_\alpha$ , ребро с номером  $\beta$  через  $R_\beta$ ; концы ребра  $R_\beta$  обозначим через  $Q_{\beta,1}, Q_{\beta,2}$ . Пусть  $Q_{\beta,1} = M_{\alpha_{\beta,1}}, Q_{\beta,2} = M_{\alpha_{\beta,2}}$ . Назовем *цепью длины*  $s$ ,  $1 \leq s$ , упорядоченную последовательность ребер  $(R_{\beta_1}, \dots, R_{\beta_s})$  такую, что  $Q_{\beta_{l'},2} = Q_{\beta_{l'+1},1}$ , где  $1 \leq l' \leq s-1$ . Узел  $Q_{\beta_1,1}$  назовем *входом цепи*, узел  $Q_{\beta_s,2}$  назовем *выходом цепи*. Будем говорить, что цепь проходит через ребро  $R_{\beta_l}$  в направлении от узла  $Q_{\beta_l,1}$  к узлу  $Q_{\beta_l,2}$ . Назовем *проводимостью цепи* конъюнкцию проводимостей всех ребер цепи, при этом проводимость каждого ребра берем в том направлении, в котором цепь проходит через ребро.

Вместо каждого контакта произведем подстановку схемы, изображенной на рис. 2. Полученная схема эквивалентна исходной, но в ней все цепи с проводимостью, отличной от 0, могут проходить через контакты только в одном направлении; соответственно этому один конец каждого контакта назовем его *входом*, другой — *выходом*. Пусть схема содержит  $h$  контактов, один из которых является «источниковым» [10]. Занумеруем контакты числами  $1, \dots, h$ . Проводимость схемы однозначно определяется наименованиями контактов и квадратной матрицей  $B = \{b_v^w\}$ , где  $b_v^w = 1$ , если в схеме имеется цепь с проводимостью 1 (проходящая через вентили) от выхода  $v$ -го контакта к входу  $w$ -го контакта, в противном случае  $b_v^w = 0$ . Всегда  $b_v^v = 1$ . Обозначим через  $S(h, n)$  число различных функций от  $n$  аргументов, которые могут быть реализованы всевозможными двухполюсными контактно-вентильными схемами, содержащими  $h$  контактов (считая источниковый контакт). В силу вышеизложенного

$$S(h, n) \leq (2n)^{h-1} 2^{h^2-h}.$$

Отсюда, как в § 2, следует нижняя оценка.

Верхняя оценка. При  $n$  четном верхняя оценка содержится в (4.1). Пусть  $n$  — нечетное. Идея, излагаемая ниже, будет использована во всех последующих параграфах.

Пусть  $H$  — неориентированный граф \*), не содержащий подграфов, изображенных на рис. 3, в силу чего каждое ребро однозначно определяется заданием пары инцидентных ему узлов.

Пусть граф  $H$  имеет  $\mu$  узлов, занумеруем их числами  $\alpha = 1, \dots, \mu$  и обозначим через  $K_\alpha$  ребро с номером  $\alpha$ . Пусть граф  $H$  имеет также

\*) Граф  $H$  играет вспомогательную роль и, вообще говоря, не связан с графом синтезируемой схемы.

$v$  ребер и пусть  $\theta(\alpha_1, \alpha_2)$  — бинарная функция, равная 1, если существует ребро  $(K_{\alpha_1}, K_{\alpha_2})$  (т. е. ребро, инцидентное с узлами  $K_{\alpha_1}, K_{\alpha_2}$ ), и равная 0 в противном случае (функцию  $\theta(\alpha_1, \alpha_2)$  иногда называют *отношением инциденции узлов*). Пусть, далее,  $\{h_\beta\}$ ,  $\beta = 1, \dots, v$ , — система попарно ортогональных функций алгебры логики, т. е. таких функций, что  $h_{\beta_1} h_{\beta_2} = 0$  при  $\beta_1 \neq \beta_2$ . Установим взаимно однозначное соответствие между множеством всех ребер графа  $H$  и множеством функций  $\{h_\beta\}$ . Пусть ребру  $(K_{\alpha_1}, K_{\alpha_2})$  сопоставлена функция  $h_{\beta_{\alpha_1, \alpha_2}}$ ,  $1 \leq \beta_{\alpha_1, \alpha_2} \leq v$ ; положим

$$g_\alpha = \bigvee_{\substack{\alpha' = 1 \\ (\theta(\alpha, \alpha') = 1)}}^{\mu} h_{\beta_{\alpha, \alpha'}}.$$

Функцию  $g_\alpha$  назовем *связанной с узлом  $K_\alpha$* . Очевидно,

$$g_{\alpha_1} g_{\alpha_2} = \begin{cases} 0, & \text{если } \theta(\alpha_1, \alpha_2) = 0, \\ h_{\beta_{\alpha_1, \alpha_2}}, & \text{если } \theta(\alpha_1, \alpha_2) = 1. \end{cases}$$

Аргументы набора  $\tilde{x}$  длины  $n = 2r + 2t + 1$  разобьем на 3 группы:  $\tilde{x} = (\tilde{x}_{1,1}, \tilde{x}_{1,2}, \tilde{x}_2)$ , где  $\kappa(\tilde{x}_{1,p}) = r$ ,  $p = 1, 2$ ,  $\kappa(\tilde{x}_2) = 2t + 1$ . В качестве множества  $\{h_\beta\}$  возьмем множество из  $2^{2t+1}$  всевозможных конъюнкций  $K_{\tilde{\sigma}_2}(\tilde{x}_2)$ . Пусть граф  $H$  имеет  $2T$  узлов  $T = \lceil 2^{\frac{2t+1}{2}} \rceil$ , образующих две группы по  $T$  узлов, и ребра ( $2^{2t+1}$  штук) имеются только между узлами из разных групп. Занумеруем группы узлов числами  $p = 1, 2$ , и все узлы  $p$ -й группы занумеруем парами  $(p, q)$ , где  $q = 1, \dots, T$ . Введем функцию  $\theta(p, q, p', q')$ , равную 1 тогда и только тогда, когда существует ребро между узлами с номерами  $(p, q), (p', q')$ . Обозначим через  $g_{p,q}$  функцию, связанную с узлом, имеющим номер  $(p, q)$ . Для пар  $(p, q), (p', q')$  таких, что  $\theta(p, q, p', q') = 1$ , введем набор, обозначаемый через  $\tilde{\sigma}_2(p, q, p', q')$ , который определяется равенством

$$K_{\tilde{\sigma}_2(p, q, p', q')}(\tilde{x}_2) = g_{p,q} g_{p',q'}.$$

Тогда

$$f(x) = \bigvee_{\substack{q, q', \tilde{\sigma}_{1,1}, \tilde{\sigma}_{1,2} \\ (0(1, q, 2, q') = 1)}} g_{1,q}(\tilde{x}_2) K_{\tilde{\sigma}_{1,1}}(\tilde{x}_{1,1}) g_{2,q'}(\tilde{x}_2) K_{\tilde{\sigma}_{1,2}}(\tilde{x}_{1,2}) f(\tilde{\sigma}_{1,1}, \tilde{\sigma}_{1,2}, \tilde{\sigma}_2(1, q, 2q')). \quad (4.2)$$

Схема для  $f(\tilde{x})$  (рис. 4) строится из двух контактных схем  $T^1, T^2$  и вентильной схемы, соединяющей в соответствии с (4.2) выходы схемы  $T^1$  со входами схемы  $T^2$ . Схема  $T^p$ ,  $p = 1, 2$ , реализует функции  $g_{p,q}(\tilde{x}_2) K_{\tilde{\sigma}_{1,p}}(\tilde{x}_{1,p})$  и состоит из схемы  $G^p$  над  $\tilde{x}_p$ , реализующей функции

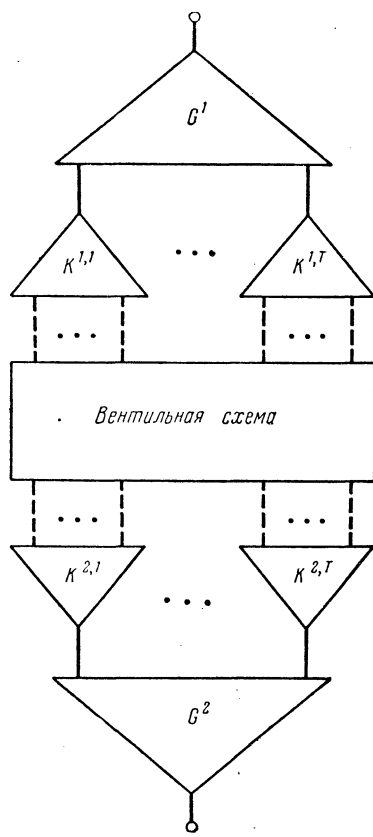


Рис. 4.

$g_{p,q}$  (полученной из дихотомического контактного дерева) и  $T$  тождественных схем  $K^{p,q}$ , реализующих каждая все конъюнкции  $K_{\tilde{\sigma}_{1,p}}(\tilde{x}_{1,p})$  (асимптотически по  $2^r$  контактов [4]). Вход (выход) схемы  $K^{1,q}$  (схемы  $K^{2,q}$ ) соединяется с выходом (входом) схемы  $G^1$  (схемы  $G^2$ ), соответствующим функции  $g_{1,q}$  (функции  $g_{2,q}$ ). Положим  $r, t \rightarrow \infty$ , тогда  $L(n) \leq 2 \cdot 2^{n/2}$ .

Теорема доказана.

З а м е ч а н и е. Граф, получающийся из данной схемы заменой всех контактов на неориентированные ребра (т. е. замыканием всех контактов), назовем *остовом схемы*, аналогично определим *остов цепи*. Назовем цепь  $(R_{\beta_1}, \dots, R_{\beta_s})$  *самонепересекающейся*, если  $M_{\alpha_{\beta_{l_1}, p}} \neq M_{\alpha_{\beta_{l_2}, p}}$  при  $l_1 \neq l_2, p = 1, 2$ . Самонепересекающуюся цепь с совпадающими входом и выходом назовем *циклом*. Если схема не содержит циклов, остовы которых имеют проводимость 1, то при соответствующей нумерации контактов матрица  $B$  будет треугольной. В этом случае нижняя оценка для  $\tilde{L}(n)$  повышается до  $\sqrt{2} \cdot 2^{n/2}$ .

### § 5. Схемы в базисе, в котором $L(y_1 \vee y_2) = 0, L(\neg y) = 1^*$

Теорема 5. Для схем в базисе  $\mathfrak{S}$

$$L(n) \sim \sqrt{2} \cdot 2^{n/2}.$$

Д о к а з а т е л ь с т в о. Нижняя оценка. Применяемый здесь метод получения нижней оценки будет использован также в § 7.

При определении функции, реализуемой схемой, определяются функции, приписываемые вершинам схемы (см. [3]). Будем говорить, что элемент или блок схемы выдает функцию, которая приписана его выходу. Будем говорить, что в вершину подается некоторая функция, подразумевая под этим, что в вершину подается некоторая вершина, которой приписана данная функция.

Как в § 2, определим для всякой схемы  $\mathfrak{U}$  граф  $Q(\mathfrak{U})$  и систему индексов его вершин, однозначно определяющие функцию, реализуемую схемой  $\mathfrak{U}$ . Пусть схема имеет вес  $h$ , т. е. содержит  $h$  элементов  $\varphi_1, \dots, \varphi_h$ , реализующих инверсию. Граф  $Q(\mathfrak{U})$  определяется матрицей  $B = \{b_v^w\}_{v=1, \dots, h, w=0, 1, \dots, h}$ , в которой  $b_v^w = 1$  тогда и только тогда, когда в графе

$Q(\mathfrak{U})$  имеется ребро  $(M_v, \overrightarrow{M_w})$ . При надлежащей нумерации элементов  $\varphi_1, \dots, \varphi_h$  матрица  $B' = \{b_v^w\}_1^h$  — треугольная.

Обозначим через  $S(h, n)$  число различных функций, которые могут быть реализованы всевозможными схемами веса  $h$ . В силу вышеизложенного,

$$S(h, n) \leq 2^{\frac{h(h-1)}{2}} 2^h 2^{n(h+1)}.$$

Отсюда следует нижняя оценка.

Верхняя оценка. Ввиду некоторой сложности метода синтеза, доставляющего верхнюю оценку, асимптотически равную нижней, разобъем изложение на 3 пункта; в первых двух пунктах приведем более простые методы синтеза, дающие более грубые верхние оценки.

I. Аргументы набора  $\tilde{x}$  длины  $n$  разобьем на 2 группы:  $\tilde{x} = (\tilde{x}_1, \tilde{x}_2)$ , где  $\chi(\tilde{x}_1) = r, \chi(\tilde{x}_2) = n - r$ .

\*) Под термином «схема» здесь и в дальнейшем подразумевается схема из функциональных элементов в смысле определения из [3].

Легко, показать, что

$$\begin{aligned} f(\tilde{x}) &= \bigvee_{\tilde{\sigma}_1, \tilde{\sigma}_2} K_{\tilde{\sigma}_1}(\tilde{x}_1) K_{\tilde{\sigma}_2}(\tilde{x}_2) f(\tilde{\sigma}_1, \tilde{\sigma}_2) = \\ &= \bigvee_{\tilde{\sigma}_2} \neg [D_{\neg \tilde{\sigma}_2}(\tilde{x}_2) \vee \neg \bigvee_{\tilde{\sigma}_1} K_{\tilde{\sigma}_1}(\tilde{x}_1) f(\tilde{\sigma}_1, \tilde{\sigma}_2)] = \\ &= \bigvee_{\tilde{\sigma}_2} \neg (D_{\neg \tilde{\sigma}_2}(\tilde{x}_2) \vee \bigvee_{\tilde{\sigma}_1} K_{\tilde{\sigma}_1}(\tilde{x}_1) \neg f(\tilde{\sigma}_1, \tilde{\sigma}_2)) \end{aligned}$$

и, следовательно,

$$f(\tilde{x}) = \bigvee_{\tilde{\sigma}_2} \neg [D_{\neg \tilde{\sigma}_2}(\tilde{x}_2) \vee \bigvee_{\substack{\tilde{\sigma}_1 \\ (f(\tilde{\sigma}_1, \tilde{\sigma}_2)=0)}} \neg D_{\neg \tilde{\sigma}_1}(\tilde{x}_1)]. \quad (5.1)$$

Схема для  $f(\tilde{x})$  строится следующим образом.  $n$  элементов веса 1 выдают функции  $\neg x_i$ ,  $i = 1, \dots, n$ . Занумеруем  $2^r$  элементов, реализующих инверсию, наборами  $\tilde{\sigma}_1$ , обозначим эти элементы символами  $I_{\tilde{\sigma}_1}^1$ . На вход каждого элемента  $I_{\tilde{\sigma}_1}^1$  подадим дизъюнкцию  $D_{\neg \tilde{\sigma}_1}(\tilde{x}_1)$ , элементы  $I_{\tilde{\sigma}_1}^1$  выдают все функции  $K_{\tilde{\sigma}_1}(\tilde{x}_1)$ .

Занумеруем  $2^{n-r}$  элементов, реализующих инверсию, наборами  $\tilde{\sigma}_2$ , обозначим эти элементы символами  $I_{\tilde{\sigma}_2}^2$ . На вход элемента  $I_{\tilde{\sigma}_2}^2$  подаем дизъюнкцию  $D_{\neg \tilde{\sigma}_2}(\tilde{x}_2)$  и все функции  $K_{\tilde{\sigma}_2}(\tilde{x}_2)$  такие, что  $f(\tilde{\sigma}_1, \tilde{\sigma}_2) = 0$ . В силу (5.1) элемент  $I_{\tilde{\sigma}_2}^2$  выдает функцию  $K_{\tilde{\sigma}_2}(\tilde{x}_2) f(\tilde{x}_1, \tilde{\sigma}_2)$ . Выходы всех элементов  $I_{\tilde{\sigma}_2}^2$  подаем на выход схемы; в силу (5.1) построенная схема реализует функцию  $f(\tilde{x})$ .

Таким образом,

$$L(n) \leq n + 2^r + 2^{n-r}.$$

Положим  $r = \left[ \frac{n}{2} \right]$ . Тогда

$$L(n) \lesssim \begin{cases} 2 \cdot 2^{n/2} & \text{при } n \text{ четном,} \\ \frac{3}{\sqrt{2}} \cdot 2^{n/2} & \text{при } n \text{ нечетном.} \end{cases}$$

Данный метод синтеза подобен методу синтеза контактно-вентильных схем в [4].

II. Аргументы набора  $\tilde{x}$  длины  $n = 2r + 2t + 1$  разобьем на группы:  $\tilde{x} = (\tilde{x}_{1,1}, \tilde{x}_{1,2}, \tilde{x}_2)$ , где  $\kappa(\tilde{x}_{1,p}) = r$ ,  $p = 1, 2$ ,  $\kappa(\tilde{x}_2) = 2t + 1$ . Как в предыдущем параграфе, введем множество  $\{h_\beta\}$ , граф  $H$ , функцию  $\theta(p, q, p', q')$ , функции  $g_{p,q}$  и наборы  $\tilde{\sigma}_2(p, q, p', q')$ .

Перепишем (4.2) в виде

$$\begin{aligned} f(\tilde{x}) &= \bigvee_{q'} g_{2, q'}(\tilde{x}_2) \bigvee_{\tilde{\sigma}_{1,2}} K_{\tilde{\sigma}_{1,2}}(\tilde{x}_{1,2}) \bigvee_{\substack{q, \tilde{\sigma}_{1,1} \\ (\theta(1, q, 2, q')=1)}} g_{1, q}(\tilde{x}_2) K_{\tilde{\sigma}_{1,1}}(\tilde{x}_1) f[\tilde{\sigma}_{1,1}, \tilde{\sigma}_{1,2}, \tilde{\sigma}_2(1, q, 2, q')] = \\ &= \bigvee_{q'} g_{2, q'}(\tilde{x}_2) \bigvee_{\tilde{\sigma}_{1,2}} \neg [D_{\neg \tilde{\sigma}_{1,2}}(\tilde{x}_{1,2}) \vee \neg \bigvee_{\substack{q, \tilde{\sigma}_{1,1} \\ (\theta(1, q, 2, q')=1)}} g_{1, q}(\tilde{x}_2) \& \\ &\& K_{\tilde{\sigma}_{1,1}}(\tilde{x}_1) f[\tilde{\sigma}_{1,1}, \tilde{\sigma}_{1,2}, \tilde{\sigma}_2(1, q, 2, q')]], \end{aligned}$$

откуда

$$\begin{aligned}
 f(\tilde{x}) = & \bigvee_{q'} g_{2, q'}(\tilde{x}_2) \bigvee_{\substack{q, \tilde{\sigma}_{1,2} \\ (\theta(1, q, 2, q')=1)}} \neg [D_{\neg \tilde{\sigma}_{1,2}}(\tilde{x}_{1,2}) \vee \\
 & \vee \bigvee_{\substack{q, \tilde{\sigma}_{1,1} \\ f[\tilde{\sigma}_{1,1}, \tilde{\sigma}_{1,2}, \tilde{\sigma}_2(1, q, 2, q')] = 0}} \neg (D_{\neg \tilde{\sigma}_{1,1}}(\tilde{x}_{1,1}) \vee \neg g_{1,q}(\tilde{x}_2)). \quad (5.2)
 \end{aligned}$$

Схема для  $f(\tilde{x})$  (рис. 5) строится следующим образом.  $n$  элементов веса 1 выдают функции  $\neg x_i$ ,  $i = 1, \dots, n$ . Затем с использованием лишь

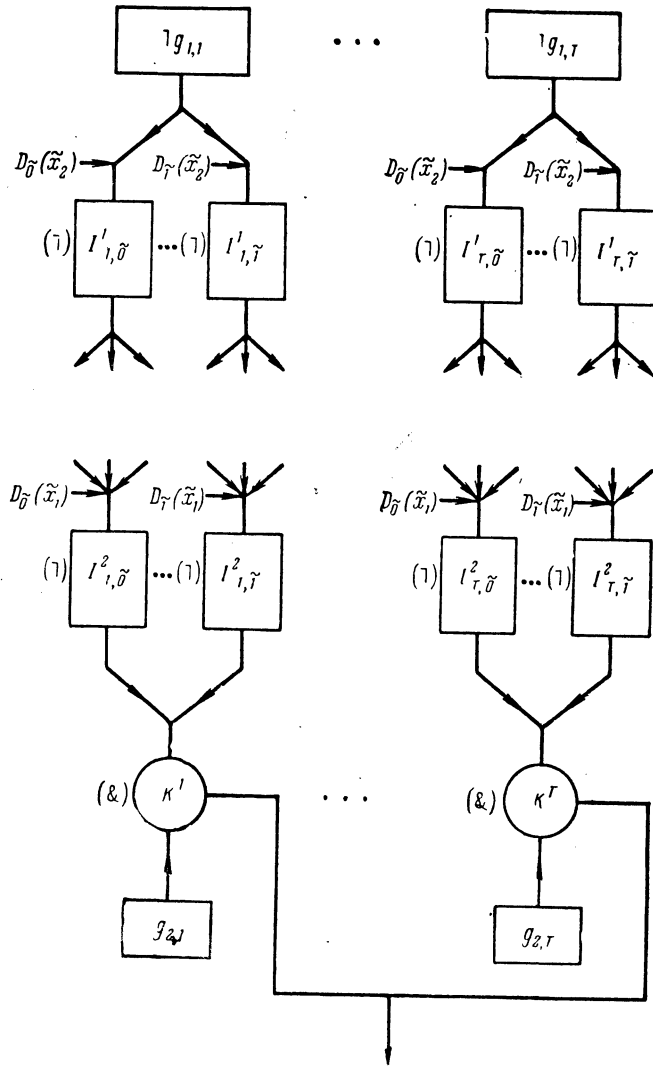


Рис. 5.

элементов веса 0 реализуются дизъюнкции  $D_{\neg \tilde{\sigma}_2(1, q, 2, q')}(\tilde{x}_2)$ . Далее с помощью  $2^{2t+1}$  элементов для инверсии реализуются функции  $\neg D_{\neg \tilde{\sigma}_2(1, q, 2, q')}(\tilde{x}_2)$  и с использованием элементов веса 0 — функции

$g_{1,q}(\tilde{x}_2)$  и  $g_{2,q'}(\tilde{x}_2)$  и, наконец, с использованием  $T$  элементов для инверсии, функции  $\neg g_{1,q}(\tilde{x}_2)$ :

$$\begin{aligned}\neg g_{1,q}(\tilde{x}_2) &= \neg \bigvee_{\substack{q'=1 \\ (\theta(1, q, 2, q')=1)}}^T \neg D_{\neg \tilde{\sigma}_2(1, q, 2, q')}(\tilde{x}_2), \\ g_{2,q'}(\tilde{x}_2) &= \bigvee_{\substack{q=1 \\ (\theta(1, q, 2, q')=1)}}^T \neg D_{\neg \tilde{\sigma}_2(1, q, 2, q')}(\tilde{x}_2).\end{aligned}$$

Занумеруем  $T \cdot 2^r$  элементов, реализующих инверсию, парами  $(q', \tilde{\sigma}_{1,1})$ ,  $1 \leq q \leq T$ ; обозначим эти элементы символами  $I_{\tilde{\sigma}_{1,1}}^{1,q}$ . Занумеруем также еще  $T \cdot 2^r$  элементов, реализующих инверсию, парами  $(q', \tilde{\sigma}_{1,2})$ ; обозначим эти элементы символами  $I_{\tilde{\sigma}_{1,2}}^{2,q'}$ . Образуем  $T$  блоков, каждый из которых реализует конъюнкцию (рис. 6), занумеруем их числами  $q'$  и обозначим символами  $K^{q'}$ . Соединение элементов производим в соответствии с формулой (5.2). На вход каждого элемента  $I_{\tilde{\sigma}_{1,1}}^{1,q}$  подаем дизъюнкцию  $D_{\neg \tilde{\sigma}_{1,1}}(\tilde{x}_1, 1)$  и функцию  $\neg g_{1,q}(\tilde{x}_2)$ . На вход каждого элемента  $I_{\tilde{\sigma}_{1,2}}^{2,q'}$  подаем дизъюнкцию  $D_{\neg \tilde{\sigma}_{1,2}}(\tilde{x}_1, 2)$ , а также выходы всех элементов  $I_{\tilde{\sigma}_{1,1}}^{1,q}$  таких, что  $\theta(1, q, 2, q')=1, f[\tilde{\sigma}_{1,1}, \tilde{\sigma}_{1,2}, \tilde{\sigma}_2(1, q, 2, q')] = 0$ . Выходы всех элементов  $I_{\tilde{\sigma}_{1,2}}^{2,q'}$  при фиксированном  $q'$  подаем на один из входов блока  $K^{q'}$ , на другой вход которого подаем функцию  $g_{2,q'}(\tilde{x}_2)$ . Выходы всех блоков  $K^{q'}$  подаем на выход схемы.

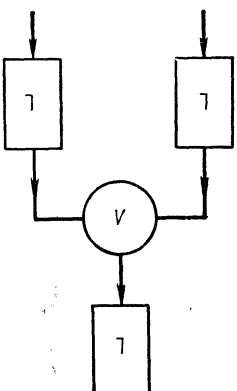


Рис. 6.

Из построения схемы следует, что

$$L(n) \leq n + 2T2^r + 4T + 2^{2t+1}.$$

Положим  $t \rightarrow \infty$ ,  $n - 4t \rightarrow \infty$ . Тогда  $L(n) \leq 2 \cdot 2^{n/2}$ .

III. Аргументы набора  $\tilde{x}$  длины  $n = 2kr + t$  разобьем на группы:  $\tilde{x} = (\tilde{x}_1, \tilde{x}_2)$ , где  $\tilde{x}_1 = (\tilde{x}_{1,1}, \dots, \tilde{x}_{1,2k})$ ,  $\chi(\tilde{x}_{1,p}) = r$ ,  $p = 1, \dots, 2k$ ,  $\chi(\tilde{x}_2) = t$ .

В качестве множества  $\{h_\beta\}$  возьмем множество из  $2^t$  всевозможных конъюнкций  $K_{\tilde{\sigma}_2}(\tilde{x}_2)$ . Пусть граф  $H$  имеет  $2k$  групп узлов по

$$T = \left\lceil \frac{2^{t/2}}{\sqrt{k(2k-1)}} \right\rceil$$

узлов в каждой группе и  $2^t$  ребер, причем ребра имеются только между узлами из разных групп. Занумеруем группы узлов числами  $p = 1, \dots, 2k$  и все узлы  $p$ -й группы занумеруем парами  $(p, q)$ , где  $q = 1, \dots, T$ . Как в предыдущем параграфе, введем функции  $\theta(p, q, p', q')$ ,  $g_{p,q}$  и наборы  $\sigma_2(p, q, p', q')$ .

Введем функции  $V_{p,q,p',q'}$ ,  $V_{p,p',q}^+$ ,  $V_{p,p',q}^-$ :

$$V_{p,q,p',q'} = g_{p,q} g_{p',q'} = \begin{cases} K_{\tilde{\sigma}_2(p,q,p',q')}(\tilde{x}_2) & \text{при } \theta(p, q, p', q') = 1, \\ 0 & \text{при } \theta(p, q, p', q') = 0; \end{cases}$$

$$\begin{aligned} V_{p, p', q}^+ &= \bigvee_{q'} V_{p, q, p', q'} && \text{для } 1 \leq p < 2k, \quad p < p'; \\ V_{p, p', q}^- &= \bigvee_{q'} V_{p, q, p', q'} && \text{для } 1 < p \leq 2k, \quad p' < p. \end{aligned}$$

В силу ортогональности функций  $V_{p_1, q_1, p'_1, q'_1}$ ,  $V_{p_2, q_2, p'_2, q'_2}$  с различными системами индексов,

$$V_{p, p', q}^+ V_{p'_1, p_1, q'}^- = \begin{cases} V_{p, q, p', q'} & \text{при } (p_1, p'_1) \equiv (p, p'), \\ 0 & \text{при } (p_1, p'_1) \not\equiv (p, p'). \end{cases} \quad (5.3)$$

Удалим из системы  $\tilde{x}_1 = (\tilde{x}_{1,1}, \dots, \tilde{x}_{1,2k})$  группы  $\tilde{x}_{1,p}, \tilde{x}_{1,p'}, p < p'$ , остальные группы произвольным образом распределим в две подсистемы по  $k-1$  групп; обозначим их через  $\tilde{\mathcal{M}}_{p,p'}^+, \tilde{\mathcal{M}}_{p',p}^-$ . Наборы значений их аргументов будем обозначать через  $\omega_{p,p'}, \omega_{p',p}$  или просто через  $\omega, \omega'$  в тех случаях, когда либо очевидно, к какой подсистеме относится данный набор, либо когда наборы  $\omega, \omega'$  относятся к нескольким подсистемам. В дальнейшем будем иногда опускать также указание аргументов у функций ради упрощения записи формул.

При фиксированных  $p, p'$  между наборами  $\tilde{\sigma}_1$  и системами наборов  $(\tilde{\omega}_{p, p'}, \tilde{\omega}_{p', p}, \tilde{\sigma}_{1, p}, \tilde{\sigma}_{1, p'})$  существует взаимно однозначное соответствие, определяемое равенством

$$K_{\widetilde{\sigma}_1}(\tilde{x}_1) = K_{\widetilde{\omega}_{p, p'}}(\mathfrak{M}_{p, p'}^+) K_{\widetilde{\omega}_{p', p}}(\mathfrak{M}_{p', p}^-) K_{\widetilde{\sigma}_1, p}(\tilde{x}_1, p) K_{\widetilde{\sigma}_1, p'}(\tilde{x}_1, p').$$

Функция  $f(\tilde{x})$  представляется в виде

$$f(\tilde{x}) = \bigvee_{\substack{p, p', q, q', \tilde{\omega}, \tilde{\omega}', \tilde{\sigma}_1, \tilde{\sigma}_1, p' \\ \left( \begin{array}{c} 1 \leq p < 2^k \\ 1 < p' \leq 2^k \\ p < p' \\ \theta(p, q, p', q') = 1 \end{array} \right)}} [K_{\tilde{\omega}'}(\mathfrak{M}_{p', p}) V_{p', p, q'}^- K_{\tilde{\sigma}_1, p'}] \& \\ \& [K_{\tilde{\omega}}^+(\mathfrak{M}_{p, p'}) V_{p, p'}^+ K_{\tilde{\sigma}_1, p}] \& f[\tilde{\sigma}_1(\tilde{\omega}, \tilde{\omega}', \tilde{\sigma}_1, p, \tilde{\sigma}_1, p'), \tilde{\sigma}_2(p, q, p', q')]. \quad (5.4)$$

Здесь через  $\tilde{\sigma}_1(\tilde{\omega}, \tilde{\omega}', \tilde{\sigma}_{1,p}, \tilde{\sigma}_{1,p'})$  обозначен набор, сопоставляемый системе  $(\tilde{\omega}_p, p', \tilde{\omega}_{p',p}, \tilde{\sigma}_{1,p}, \tilde{\sigma}_{1,p'})$  при данных  $p, p'$  по указанному взаимно однозначному соответствуию. В дальнейшем вместо  $f[\tilde{\sigma}_1(\tilde{\omega}, \tilde{\omega}', \tilde{\sigma}_{1,p}, \tilde{\sigma}_{1,p'})]$ ,  $\tilde{\sigma}_2(p, q, p', q')$  будем иногда писать просто  $f[\tilde{\sigma}_1, \tilde{\sigma}_2]$ .

Опишем еще одно представление функций, которое будет использовано при построении схем.

## Введем функции

$$\begin{aligned}
 U_{p, p', q, \tilde{\omega}}^+ &= (\neg K_{\tilde{\omega}}(\mathfrak{M}_{p, p'}^+)) V_{p, p', q}^+ \quad \text{для } 1 \leq p < 2k, \ p < p'; \\
 U_{p, p', q, \tilde{\omega}}^- &= K_{\tilde{\omega}}(\mathfrak{M}_{p, p'}^-) V_{p, p', q}^- \quad \text{для } 1 < p \leq 2k, \ p' < p; \\
 W_{p, q, \tilde{\omega}}^+ &= \bigvee_{\substack{p'' \\ (p < p'')}} U_{p, p'', q, \tilde{\omega}}^+; \\
 W_{p, q, \tilde{\omega}}^- &= \bigvee_{\substack{p'' \\ (p'' < p)}} U_{p, p'', q, \tilde{\omega}}^-; \\
 F_{p, q} &= \underset{(p < p')}{\&} (\neg V_{p, p', q}^+) \underset{(p' < p)}{\&} (\neg V_{p, p', q}^-) = \bigvee_{\substack{p_1, q_1, p'_1, q'_1 \\ ((p'_1, q'_1) \pm (p, q)) \\ ((p'_1, q'_1) \mp (p, q))}} V_{p_1, q_1, p'_1, q'_1}.
 \end{aligned}$$

Функция  $f(\tilde{x})$  представляется в виде

$$\begin{aligned} f(\tilde{x}) = & \bigvee_{p', q', \tilde{\omega}'} W_{p', q', \tilde{\omega}'}^- \wedge \bigvee_{\tilde{\sigma}_1, p'} \{ \neg [D_{\neg \tilde{\sigma}_1, p'} \vee W_{p', q', \tilde{\omega}'}^+ \vee F_{p', q'}] \vee \\ & \bigvee_{\substack{p, q, \tilde{\sigma}_1, p, \tilde{\omega} \\ \theta(p, q, p', q')=1 \\ f[\tilde{\sigma}_1, \tilde{\sigma}_2]=0}} \neg (D_{\neg \tilde{\sigma}_1, p} \vee W_{p, q, \tilde{\omega}}^+ \vee F_{p, q})] \}. \end{aligned} \quad (5.5)$$

Докажем это равенство. Систему  $\{\varphi_\lambda\}$  функций алгебры логики назовем *полной ортогональной системой*, если

$$\bigvee_{\lambda} \varphi_{\lambda} = 1, \quad \varphi_{\lambda_1} \varphi_{\lambda_2} = 0 \quad \text{при } \lambda_1 \neq \lambda_2.$$

Если  $\{\varphi_\lambda\}$  — полная ортогональная система и  $\{\psi_\lambda\}$  — произвольная система функций алгебры логики, то

$$\neg \bigvee_{\lambda} \psi_{\lambda} \varphi_{\lambda} = \bigvee_{\lambda} (\neg \psi_{\lambda}) \varphi_{\lambda}.$$

Так как система функций  $\{V_{p, q, p', q'}\}$  — полная ортогональная система, то

$$\begin{aligned} & \neg (W_{p, q, \tilde{\omega}}^+ \vee F_{p, q} 1 \vee \bigvee_{\substack{p'' \\ (p'' < p)}} V_{p, p'', q}^- 0) = \\ & = \bigvee_{\substack{p'' \\ (p'' > p)}} K_{\tilde{\omega}} (\mathfrak{M}_{p, p''}^+) V_{p, p'', q}^+ \vee F_{p, q} 0 \vee \bigvee_{\substack{p'' \\ (p'' < p)}} V_{p, p'', q}^- 1. \end{aligned}$$

И

$$\begin{aligned} & \neg (D_{\neg \tilde{\sigma}_1, p} \vee W_{p, q, \tilde{\omega}}^+ \vee F_{p, q}) = \\ & = K_{\tilde{\sigma}_1, p} [\bigvee_{\substack{p'' \\ (p < p'')}} K_{\tilde{\omega}} (\mathfrak{M}_{p, p''}^+) V_{p, p'', q}^+ \vee \bigvee_{\substack{p'' \\ (p' < p)}} V_{p, p'', q}^-]. \end{aligned}$$

Обозначим через  $\sum_{\tilde{\sigma}_1, p', \tilde{\omega}'}^{p', q'}$  выражение, заключенное в формуле (5.5) в квадратные скобки.

Имеем \*)

$$\begin{aligned} & \sum_{\tilde{\sigma}_1, p', \tilde{\omega}'}^{p', q'} = D_{\neg \tilde{\sigma}_1, p'} \vee W_{p', q', \tilde{\omega}'}^+ \vee F_{p', q'} \vee \\ & \vee \bigvee_{\substack{p, q, \tilde{\sigma}_1, p, \tilde{\omega} \\ \theta(p, q, p', q')=1 \\ f[\tilde{\sigma}_1, \tilde{\sigma}_2]=0}} K_{\tilde{\sigma}_1, p} [\bigvee_{\substack{p'' \\ (p < p'')}} K_{\tilde{\omega}} (\mathfrak{M}_{p, p''}^+) V_{p, p'', q}^+ \vee \bigvee_{\substack{p'' \\ (p'' < p)}} V_{p, p'', q}^-], \end{aligned}$$

откуда, по определению функции  $F_{p', q'}$  и так как  $p < p'$ ,

$$\begin{aligned} & \sum_{\tilde{\sigma}_1, p', \tilde{\omega}'}^{p', q'} = D_{\neg \tilde{\sigma}_1, p'} \vee W_{p', q', \tilde{\omega}'}^+ \vee F_{p', q'} \vee \\ & \vee \bigvee_{\substack{p, q, \tilde{\sigma}_1, p, \tilde{\omega} \\ (p < p')}} (\neg f[\tilde{\sigma}_1, \tilde{\sigma}_2]) K_{\tilde{\omega}} (\mathfrak{M}_{p, p'}^+) V_{p, q, p', q'} K_{\tilde{\sigma}_1, p}. \end{aligned} \quad (5.6)$$

Система функций

$$\{K_{\tilde{\omega}} (\mathfrak{M}_{p, p'}^+) V_{p, q, p', q'} K_{\tilde{\sigma}_1, p}\}_{p, q, p', q', \tilde{\sigma}_1, p, \tilde{\omega}}$$

\*) Здесь и далее в этом параграфе опущена запись условия  $\theta(p, q, p', q')=1$  и условий, получающихся из данного подстановкой других переменных.

— полная ортогональная система; поэтому

$$\begin{aligned} \neg \sum_{\tilde{\sigma}_1, p', \tilde{\omega}}^{p', q'} = & K_{\tilde{\sigma}_1, p'} [ \bigvee_{\substack{p, q, \tilde{\sigma}_1, p', \tilde{\omega} \\ (p < p')}} f[\tilde{\sigma}_1, \tilde{\sigma}_2] K_{\tilde{\omega}}(\mathfrak{M}_{p, p'}^+) V_{p, q, p', q'} K_{\tilde{\sigma}_1, p} \vee \\ & \vee \bigvee_{\substack{p \\ (p < p)}} K_{\tilde{\omega}}(\mathfrak{M}_{p', p}^+) V_{p', p, q}^+ ]. \end{aligned} \quad (5.7)$$

Так как

$$W_{p', q', \tilde{\omega}}^- \bigvee_{\substack{p'' \\ (p' < p'')}} V_{p', p'', q'}^+ = 0,$$

то подстановка (5.7) в правую часть (5.5) после замены по (5.3) дает (5.4), что доказывает справедливость равенства (5.5).

Схема для  $f(\tilde{x})$  строится в соответствии с (5.5) следующим образом.

1) Блок  $I$  выдает инверсии аргументов  $\neg x_i$ ,  $i = 1, \dots, n$ ;  $L(I) = n$ .

2) Блок  $V$  выдает всевозможные конъюнкции  $K_{\tilde{\sigma}_2}(\tilde{x}_2)$  (по формуле  $K_{\tilde{\sigma}_2}(\tilde{x}_2) = \neg D_{\neg \tilde{\sigma}_2}(\tilde{x}_2)$ );  $L(V) = 2^t$ .

3) Блок  $F$  выдает всевозможные функции  $F_{p, q}$ ;  $L(F) = 0$ .

4) Блоки  $M^+$ ,  $M^-$  выдают всевозможные функции  $K_{\tilde{\omega}}(\mathfrak{M}_{p, p'}^+)$  и  $K_{\tilde{\omega}}(\mathfrak{M}_{p, p'})$  соответственно;

$$L(M^+) = L(M^-) = k(2k - 1)2^{r(k-1)}.$$

5) Блоки  $U^+$ ,  $U^-$  выдают всевозможные функции  $U_{p, p', q, \tilde{\omega}}^+$  и  $U_{p, p', q, \tilde{\omega}}^-$  соответственно;  $L(U^+) = L(U^-) = 3k(2k - 1)T2^{r(k-1)}$ .

6) Блоки  $W^+$ ,  $W^-$  выдают всевозможные функции  $W_{p, q, \tilde{\omega}}^+$  и  $W_{p, q, \tilde{\omega}}^-$  соответственно;  $L(W^+) = L(W^-) = 2$  (так как  $W_{2k, q, \tilde{\omega}}^+ = W_{1, q, \tilde{\omega}}^- = 0$ ).

7) Блок  $A$  выдает функцию  $f(\tilde{x})$  и состоит из  $2kT$  соединенных между собой блоков  $A^{p, q}$ . Опишем детально блок.

Блок  $A^{p, q}$  имеет следующее строение. Занумеруем  $2^{rk}$  элементов, реализующих инверсию, парами  $(\tilde{\sigma}_1, p, \tilde{\omega})$ , где  $\tilde{\omega}$  — набор из  $r(k-1)$  компонент; обозначим эти элементы символами  $I_{\tilde{\sigma}_1, p, \tilde{\omega}}^{p, q}$ . Образуем  $2^{r(k-1)}$  блоков, каждый из которых реализует конъюнкцию, занумеруем их наборами  $\tilde{\omega}$  и обозначим символами  $K_{\tilde{\omega}}^{p, q}$ . Выходы всех элементов  $I_{\tilde{\sigma}_1, p, \tilde{\omega}}^{p, q}$  при фиксированном  $\tilde{\omega}$  (а также при фиксированных значениях  $p, q$ ) подаем на один из выходов блока  $K_{\tilde{\omega}}^{p, q}$ , на другой вход которого подаем функцию  $W_{p, q, \tilde{\omega}}^-$ . На вход элемента  $I_{\tilde{\sigma}_1, p, \tilde{\omega}}^{p, q}$  подаем функции  $D_{\neg \tilde{\sigma}_1, p}$ ,  $V_{p, q, \tilde{\omega}}$  и  $F_{p, q}$ . Выходы всех блоков  $K_{\tilde{\omega}}^{p, q}$  подаем на выход блока  $A^{p, q}$ . Входы (выходы) блоков  $I_{\tilde{\sigma}_1, p, \tilde{\omega}}^{p, q}$  назовем *рабочими входами* (выходами) блока  $A^{p, q}$  (рис. 7).

Блок  $A$  получается в результате подачи выходов всех блоков  $A^{p, q}$  на выход блока  $A$  и соединения рабочих выходов блоков  $A^{p, q}$  с рабочими входами блоков  $A^{p', q'}, p < p'$ . Именно, выход элемента  $I_{\tilde{\sigma}_1, p, \tilde{\omega}}^{p, q}$  подаем на вход элемента  $I_{\tilde{\sigma}_1, p', \tilde{\omega}}^{p', q'}$  тогда и только тогда, когда

$$\theta(p, q, p', q') = 1 \quad \text{и} \quad f[\tilde{\sigma}_1, \tilde{\sigma}_2] = 0.$$

Соединение всех перечисленных блоков показано на рис. 8. Покажем, что построенная схема реализует функцию  $f(\tilde{x})$ . Обозначим через 10 Проблемы кибернетики, вып. 8

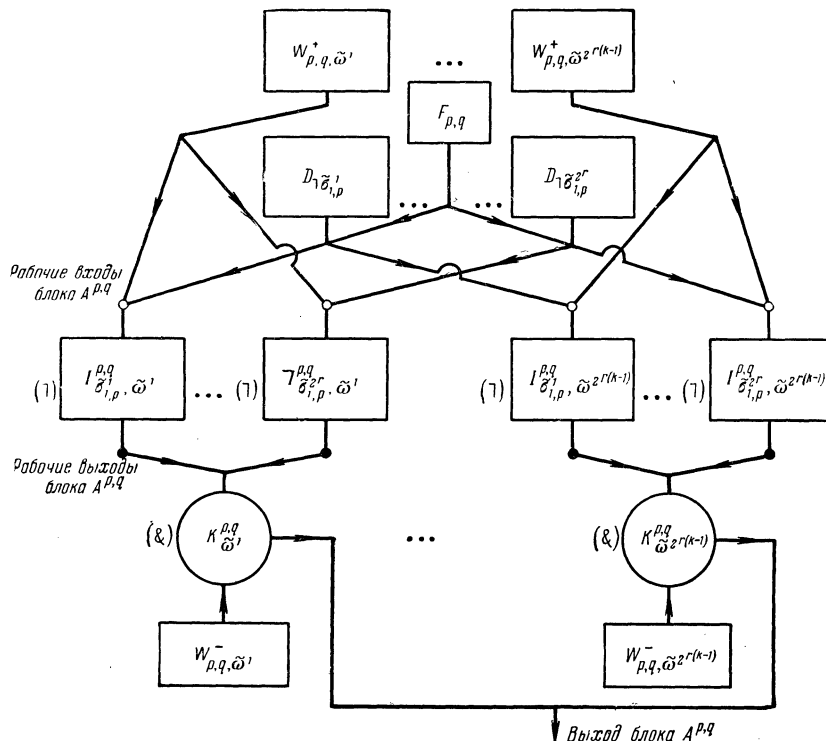


Рис. 7.

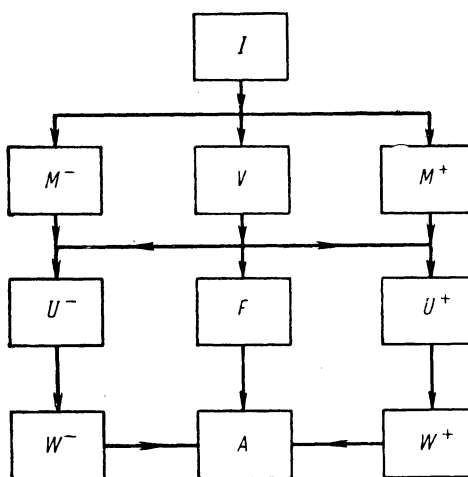


Рис. 8.

$\Omega_{\tilde{\sigma}_1, p', \tilde{\omega}'}^{p', q'}$  функцию, подаваемую на вход элемента  $I_{\tilde{\sigma}_1, p', \tilde{\omega}'}^{p', q'}$ . По построению схемы, функции  $\Omega_{\tilde{\sigma}_1, p', \tilde{\omega}'}^{p', q'}$  удовлетворяют условием

$$\Omega_{\tilde{\sigma}_1, p', \tilde{\omega}'}^{p', q'} = D_{\neg \tilde{\sigma}_1, p'} \vee W_{p', q', \tilde{\omega}'}^+ \vee F_{p', q'} \vee \bigvee_{\substack{p, q, \tilde{\sigma}_1, p, \tilde{\omega} \\ f[\tilde{\sigma}_1, \tilde{\sigma}_2] = 0}} \neg \Omega_{\tilde{\sigma}_1, p, \tilde{\omega}}^{p, q}. \quad (5.8)$$

Покажем, что

$$\Omega_{\tilde{\sigma}_1, p', \tilde{\omega}'}^{p', q'} = \sum_{\tilde{\sigma}_1, p', \tilde{\omega}'}^{p', q'}.$$

Применим индукцию по  $p'$ . При  $p' = 1$  утверждение очевидно. Допустим, что это утверждение справедливо для всех значений параметра, меньших  $p'$ . Тогда в силу (5.8) из (5.7) получим

$$\begin{aligned} \Omega_{\tilde{\sigma}_1, p', \tilde{\omega}'}^{p', q'} &= D_{\neg \tilde{\sigma}_1, p'} \vee W_{p', q', \tilde{\omega}'}^+ \vee F_{p', q'} \vee \bigvee_{\substack{p, q, \tilde{\sigma}_1, p, \tilde{\omega} \\ f[\tilde{\sigma}_1, \tilde{\sigma}_2] = 0}} \neg \sum_{\tilde{\sigma}_1, p}^{p, q} \tilde{\omega} = \\ &= D_{\neg \tilde{\sigma}_1, p'} \vee W_{p', q', \tilde{\omega}'}^+ \vee F_{p', q'} \vee \bigvee_{\substack{p, q, \tilde{\sigma}_1, p, \tilde{\omega} \\ f[\tilde{\sigma}_1, \tilde{\sigma}_2] = 0}} \left[ \bigvee_{\substack{p'' \\ (p < p'')}} K_{\tilde{\sigma}_1, p} K_{\tilde{\omega}'}(\mathfrak{M}_{p, p''}^+) V_{p, p'', q} \right. \\ &\quad \left. \vee \bigvee_{\substack{p'', q'', \tilde{\sigma}_1, p'', \tilde{\omega}'' \\ f[\tilde{\sigma}_1(\tilde{\omega}''), \tilde{\omega}, \tilde{\sigma}_1, p'', \tilde{\sigma}_1, p), \tilde{\sigma}_2(p'', q'', p, q)] = 1}} K_{\tilde{\sigma}_1, p} K_{\tilde{\omega}''}(\mathfrak{M}_{p'', p}^+) V_{p'', q'', p, q} K_{\tilde{\sigma}_1, p''} \right], \end{aligned}$$

откуда, по определению функции  $F_{p', q'}$  и в силу (5.6),

$$\begin{aligned} \Omega_{\tilde{\sigma}_1, p'}^{p', q'} &= D_{\neg \tilde{\sigma}_1, p'} \vee W_{p', q', \tilde{\omega}'}^+ \wedge F_{p', q'} \vee \\ &\quad \bigvee_{\substack{p, q, \tilde{\sigma}_1, p, \tilde{\omega} \\ f[\tilde{\sigma}_1, \tilde{\sigma}_2] = 0}} \bigvee_{\substack{p < p' \\ (p < p'')}} K_{\tilde{\omega}}(\mathfrak{M}_{p, p'}^+) V_{p, q, p', q'} K_{\tilde{\sigma}_1, p'} = \sum_{\tilde{\sigma}_1, p'}^{p', q'}. \end{aligned}$$

Отсюда следует, что построенная схема в силу (5.5) реализует функцию  $f(\tilde{x})$ . Имеем

$$L(n) \leq n + 2^t + k(2k - 1)2^{r(k-1)}(2 + 6T) + 2kT(2^{rk} + 3 \cdot 2^{r(k-1)}).$$

Выберем  $k, r, t$  так, чтобы  $k \rightarrow \infty, r \rightarrow \infty, t \rightarrow \infty, n - 2t \rightarrow \infty, \frac{2^t}{k^2} \rightarrow \infty, \frac{k}{2^r} \rightarrow 0$ . Тогда  $L(n) \leq \sqrt{2} \cdot 2^{n/2}$ . Теорема полностью доказана.

## § 6. R-схемы

В [7] были определены схемы, подобные контактно-вентильным схемам, в которых проводимость цепи определяется таким же образом, а проводимость схемы — с использованием сложения по  $\text{mod } 2$  вместо логического сложения, т. е. дизъюнкции. Такие объекты, в которых отсутствовали циклы с ненулевой проводимостью, были названы  $R$ -схемами.

Вместо терминов «информационное ребро» и «управляющее ребро», принятых в [7], здесь будем употреблять термины «контакт» и «вентиль» соответственно. Обозначим через  $\tilde{L}(f)$  минимальное число контактов такое,

что функцию  $f$  можно реализовать некоторой  $R$ -схемой, содержащей  $\tilde{L}(f)$  контактов. Как обычно, определим функцию  $\tilde{L}(n)$ .

Теорема 6.

$$\tilde{L}(n) \sim \sqrt{2} \cdot 2^{n/2}.$$

Доказательство. Нижняя оценка следует из замечания § 4 настоящей работы в силу определения  $R$ -схем.

Верхняя оценка. Заметим, что во всякой контактно-вентильной схеме, доставляемой методом синтеза § 4 настоящей статьи, проводимости всяких двух различных цепей от входа схемы к выходу ортогональны (т. е. их конъюнкция равна 0). Поэтому при вычислении проводимости схемы дизъюнкцию проводимостей всех цепей от входа к выходу можно заменить на их сумму по mod 2. В силу этого указанные контактно-вентильные схемы при ориентации их контактов от входа к выходу схемы можно рассматривать как  $R$ -схемы.

Пусть  $n$  — четное,  $n = 2k + 2sr$ .

Аргументы  $\tilde{x}$  разобьем на группы:  $\tilde{x} = (\tilde{x}_1, \tilde{x}^+, \tilde{x}^-)$ , где  $\tilde{x}_1 = (\tilde{x}_{1,1}, \dots, \tilde{x}_{1,2k})$ ,  $\tilde{x}_{1,i} = (x_{1,i,1}, \dots, x_{1,i,r})$ ,  $i = 1, \dots, 2k$ ,  $\kappa(\tilde{x}^+) = \kappa(\tilde{x}^-) = s$ . Во множестве ненулевых наборов  $\sigma_{1,i}$  выделим систему непересекающихся групп по  $r$  наборов в каждой группе так, чтобы все наборы одной группы были линейно независимы (см. § 3, следствие из леммы 1). Занумеруем эти группы числами  $j = 1, \dots, m$ , где  $m = \left[ \frac{2r-1}{r} \right]$ , и обозначим их символами  $S_{i,j}$ . Характеристическую функцию множества  $S_{i,j}$  обозначим тем же символом  $S_{i,j}$ . Оставшиеся наборы, включая нулевой, занумеруем числами  $t = 1, \dots, d$ ,  $d \leq r$ , и обозначим символами  $\tilde{\sigma}_{1,i}^t$ . Характеристическую функцию множества  $\{\tilde{\sigma}_{1,i}^t\}_{t=1}^d$  обозначим через  $T_i$ , т. е.

$$T_i = \sum_{t=1}^d K_{\tilde{\sigma}_{1,i}^t}(\tilde{x}_{1,i}). \quad (6.1)$$

Введем функции

$$V_{\tilde{\pi}}(\tilde{x}_1) = \bigwedge_{i=1}^{2k} S_{i,j_i}(\tilde{x}_1), \quad \tilde{\pi} = (j_1, \dots, j_{2k}), \quad j_i = 1, \dots, m.$$

Очевидно,

$$\bigvee_{i=1}^{2k} T_i \oplus \sum_{\tilde{\pi}} V_{\tilde{\pi}} = 1. \quad (6.2)$$

Введем функции

$$\begin{aligned} f^{(1)}(\tilde{x}) &= f(\tilde{x}) \& \bigvee_{i=1}^{2k} T_i, \\ f^{(2)}(\tilde{x}) &= f(\tilde{x}) \& \sum_{\tilde{\pi}} V_{\tilde{\pi}}. \end{aligned}$$

В силу (6.2)

$$f(\tilde{x}) = f^{(1)}(\tilde{x}) \oplus f^{(2)}(\tilde{x}). \quad (6.3)$$

Представим функцию  $f^{(1)}(\tilde{x})$  в виде, подходящем для ее схемной реализации. Так как

$$\bigvee_{i=1}^{2k} T_i = \sum_{i=1}^{2k} T_i \bigwedge_{i'=1}^{i-1} \neg T_{i'},$$

то в силу (6.1)

$$f^{(1)}(\tilde{x}) = \sum_{i=1}^{2k} \sum_{t=1}^d f_{i,t}(\tilde{x}), \quad (6.4)$$

где

$$f_{i,t}(\tilde{x}) = K_{\tilde{\sigma}_1^t, i}(\tilde{x}_{1,i}) f(\tilde{x}_{1,1}, \dots, \tilde{x}_{1,i-1}, \tilde{\sigma}_1^t, \tilde{x}_{1,i+1}, \dots, \tilde{x}_{1,2k}, \tilde{x}^+, \tilde{x}^-) \underset{i'=1}{\overset{i-1}{\Delta}} \neg T_{i'}.$$
(6.5)

Введем теперь специальное представление для функции  $f^{(2)}(\tilde{x})$ .

Представим функцию  $f^{(2)}(\tilde{x})$  в виде суммы

$$f^{(2)}(\tilde{x}) = \sum_{\tilde{\pi}} f_{\tilde{\pi}}^{(2)},$$

где

$$f_{\tilde{\pi}}^{(2)}(\tilde{x}) = f(\tilde{x}) V_{\tilde{\pi}}.$$

Очевидно, что

$$f_{\tilde{\pi}}^{(2)}(\tilde{x}) = \sum_{\tilde{\sigma}^+, \tilde{\sigma}^-} K_{\tilde{\sigma}^+}(\tilde{x}^+) K_{\tilde{\sigma}^-}(\tilde{x}^-) f_{\tilde{\pi}, \tilde{\sigma}^+, \tilde{\sigma}^-}^{(2)}(\tilde{x}_1),$$

где через  $f_{\tilde{\pi}, \tilde{\sigma}^+, \tilde{\sigma}^-}^{(2)}(\tilde{x}_1)$  обозначена функция  $f_{\tilde{\pi}}^{(2)}(\tilde{x}_1, \tilde{\sigma}^+, \tilde{\sigma}^-)$ , и

$$f_{\tilde{\pi}, \tilde{\sigma}^+, \tilde{\sigma}^-}^{(2)}(\tilde{x}_1) V_{\tilde{\pi}} = f_{\tilde{\pi}, \tilde{\sigma}^+, \tilde{\sigma}^-}^{(2)}(\tilde{x}_1).$$

Покажем, что для всякой функции  $\varphi(\tilde{x}_1)$  такой, что

$$\varphi(\tilde{x}_1) V_{\tilde{\pi}} = \varphi(\tilde{x}_1),$$

существует полином Жегалкина [11]

$$G[\varphi] = \sum_{\tilde{Q}} u[\varphi; \tilde{Q}] x_{1,1, r_1} \dots x_{1,2k, r_{2k}} \quad (6.6)$$

здесь  $\tilde{Q} = r_1, \dots, r_{2k}$ ,  $1 \leq r_i \leq r$ ,  $u[\varphi; Q] = 0, 1$ , такой, что

$$\varphi(\tilde{x}_1) = V_{\tilde{\pi}} G[\varphi]. \quad (6.7)$$

Действительно, функция  $\varphi(\tilde{x}_1)$  представляется в виде

$$\varphi(\tilde{x}_1) = \sum_{\substack{\tilde{\sigma}_1 \\ (\varphi(\tilde{\sigma}_1)=1)}} K_{\tilde{\sigma}_1}(\tilde{x}_1) = \sum_{\substack{\tilde{\sigma}_1 \\ (\varphi(\tilde{\sigma}_1)=1)}} \sum_{i=1}^{2k} K_{\tilde{\sigma}_1, i(\tilde{\sigma}_1)}(\tilde{x}_{1,i}).$$

Здесь через  $\tilde{\sigma}_1, i(\tilde{\sigma}_1)$  обозначен набор, получающийся из набора  $\bar{\sigma}_1$  удалением всех разрядов, соответствующих аргументам, не входящим в  $x_{1,i}$ . Обозначим через  $l_{i,j, \tilde{\sigma}_1, i(\tilde{\sigma}_1)}(\tilde{x}_{1,i})$  линейную функцию (без свободного члена), определяемую равенством  $K_{\tilde{\sigma}_1, i(\tilde{\sigma}_1)}(\tilde{x}_{1,i}) = S_{i,j} l_{i,j, \tilde{\sigma}_1, i(\tilde{\sigma}_1)}(\tilde{x}_{1,i})$  ( $\S$  3, лемма 2;  $j$  определяется набором  $\tilde{\sigma}_1$ ). Тогда

$$\varphi(\tilde{x}_1) = \sum_{\substack{\tilde{\sigma}_1 \\ (\varphi(\tilde{\sigma}_1)=1)}} \sum_{i=1}^{2k} S_{i,j} l_{i,j, \tilde{\sigma}_1, i(\tilde{\sigma}_1)}(\tilde{x}_{1,i}) = V_{\tilde{\pi}} \sum_{\substack{\tilde{\sigma}_1 \\ (\varphi(\tilde{\sigma}_1)=1)}} \sum_{i=1}^{2k} l_{i,j, \tilde{\sigma}_1, i(\tilde{\sigma}_1)}(\tilde{x}_{1,i})$$

откуда следует (6.7), (6.6). Таким образом,

$$\begin{aligned} f^{(2)}(\tilde{x}) &= \sum_{\tilde{\pi}} V_{\tilde{\pi}} \sum_{\tilde{\sigma}^+, \tilde{\sigma}^-} K_{\tilde{\sigma}^+}(\tilde{x}^+) K_{\tilde{\sigma}^-}(\tilde{x}^-) \& \\ &\quad \& \sum_{\tilde{Q}} u[f_{\tilde{\pi}, \tilde{\sigma}^+, \tilde{\sigma}^-}^{(2)}(\tilde{x}_1); \tilde{Q}] x_{1,1,r_1} \dots x_{1,2k,r_{2k}}. \end{aligned} \quad (6.8)$$

Преобразуем представление (6.8), применяя идеи предыдущего параграфа.

Рассмотрим в качестве множества функций  $\{h_\beta\}$  множество всех  $m^{2k}$  функций  $V_{\widetilde{\pi}}$ . Пусть граф  $H$  имеет  $2k$  групп узлов по

$$T = \left\lceil \frac{m^k}{V^{k(2k-1)}} \right\rceil$$

узлов в каждой группе и  $m^{2k}$  ребер, причем ребра имеются только между узлами из разных групп. Занумеруем группы узлов числами  $p = 1, \dots, 2k$  и все узлы  $p$ -й группы занумеруем парами  $(p, q)$ , где  $q = 1, \dots, T$ . Как в § 4, введем функции  $\theta(p, q, p', q')$  и  $g_{p, q}$ . Для пар  $(p, q), (p', q')$  таких, что  $\theta(p, q, p', q') = 1$ , введем набор  $\sigma_1(p, q, p', q')$ , который определяется равенством  $K_{\sigma_1(p, q, p', q')}(\tilde{x}_1) = g_{p, q}g_{q', p'}$ .

Между наборами  $\tilde{\pi}$  и системами чисел  $(p, q, p', q')$ ,  $p < p'$ , существует взаимно однозначное соответствие, определяемое равенством

$$V_{\widetilde{\pi}} = V_{p, q, p', q'}. \quad (6.9)$$

Как в предыдущем параграфе, определим функции  $V_{p, q, p', q'}$ ,  $V_{p, p', q}^+$ ,  $V_{p, p', q}^-$ ,  $\mathfrak{M}_{p, p'}^+$ ,  $\mathfrak{M}_{p, p'}^-$  и подсистемы  $\mathfrak{M}_{p, p'}^+$ ,  $\mathfrak{M}_{p, p'}^-$ .

Для всякого набора  $\tilde{q} = (r_1, \dots, r_{2k})$  и всяких чисел  $p, p', p < p'$ ,

$$x_{1,1,r_1} \dots x_{1,2k,r_{2k}} = E_{p,p'}^+ \cdot \widetilde{Q}_p^- x_{1,p,r_p} x_{1,p',r_{p'}}.$$

где  $E_{p, p', \tilde{q}}^+$  и  $E_{p', p, \tilde{q}}^-$  — конъюнкции аргументов из множества  $\{x_{1, 1, r_1}, \dots, x_{1, 2k, r_{2k}}\}$ , входящих в  $\mathfrak{M}_{p, p'}^+$  и  $\mathfrak{M}_{p', p}^-$  соответственно.

## Введем функции

$$U_{p, q, \tilde{q}}^+ = \sum_{\substack{p'' \\ (p < p'')}} V_{p, p'', q} E_{p, p'', \tilde{q}}^+,$$

$$U_{p, q, \tilde{q}}^- = \sum_{\substack{p'' \\ (p'' < p)}} V_{p, p'', q} E_{p, p'', \tilde{q}}^-.$$

Тогда при  $p < p'$ ,  $\theta(p, q, p', q') = 1$

$$V_{p, q, p', q'} x_{1, 1, r_1} \dots x_{1, 2k, r_{2k}} = U^+_{p, q, \tilde{0}} U^-_{p', q', \tilde{0}} x_{1, p, r_p} x_{1, p', r_{p'}}. \quad (6.10)$$

Из (6.8) — (6.10) получаем представление функции  $f^{(2)}(\tilde{x})$ , основное для дальнейших построений:

$$f^{(2)}(\tilde{x}) = \sum_{\substack{p, q, p', q', \tilde{\sigma}, \tilde{\sigma}' \\ p < p' \\ \theta(p, q, p', q') = 1}} (U_{p, q, \tilde{\sigma}}^+ K_{\tilde{\sigma}} x_{1, p, r_p}) \otimes (U_{p', q', \tilde{\sigma}'}^- K_{\tilde{\sigma}'} x_{1, p', r_{p'}}) \otimes \\ \mathcal{E} u [J_{\pi(p, q, p', q'), \tilde{\sigma}, \tilde{\sigma}'}^{(2)}(x); \tilde{\varrho}]. \quad (6.44)$$

Здесь через  $\tilde{\pi}(p, q, p', q')$  обозначен набор, сопоставляемый системе чисел  $(p, q, p', q')$  по взаимно однозначному соответствию, определяемому формулой (6.9).

Перейдем к описанию метода синтеза схемы.

Схема для  $f(\tilde{x})$  образуется при параллельном соединении схем для  $f_{i,t}(\tilde{x})$  и схемы для  $f^{(2)}(\tilde{x})$ .

В силу замечания в начале настоящего доказательства и теоремы 4,

$$\tilde{L}(f_{i,t}(\tilde{x})) \leq r + C2^{\frac{n-r}{2}},$$

где  $C$  — некоторая константа.

Схема для  $f^{(2)}(\tilde{x})$  строится из блоков  $A^{p,q}$ , которые соединены параллельно и, кроме того, связаны между собой вентилями.

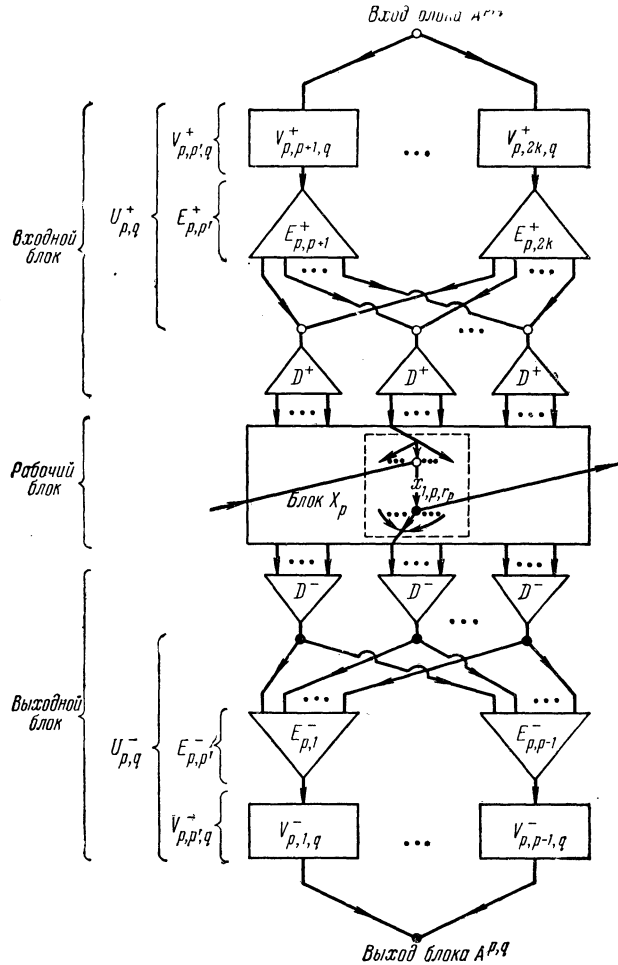


Рис. 9.

Опишем строение блока  $A^{p,q}$  (рис. 9).

1) Блоки  $V_{p,p',q}^+$ ,  $p' = p+1, \dots, 2k$ , и  $V_{p,p',q}^-$ ,  $p' = 1, \dots, p-1$ , реализуют функции  $V_{p,p',q}^+$ ,  $V_{p,p',q}^-$ . Все блоки  $V_{p,p',q}^+$ ,  $V_{p,p',q}^-$  блока  $A^{p,q}$  содержат вместе не более  $2kr^2(2k-1)T$  контактов.

2) Блок  $E_{p,p'}^+$  (блок  $E_{p,p'}^-$ ) является  $(1, r^{k-1})$ -полюсником ( $(r^{k-1}, 1)$ -полюсником), реализующим всевозможные функции  $E_{p,p',q}^+$  (функции  $E_{p,p',q}^-$ ). Он имеет следующее строение. Назовем **ярусом контакта** в контактном дереве длину минимальной цепи, содержащей данный контакт и корень дерева. Назовем дерево  $r$ -хотомическим (т. е. осуществляющим разбиение на  $r$  частей), если число контактов одного яруса, инцидентных с одним узлом, всегда равно  $r$ .

Трехярусное  $r$ -хомоморфическое дерево изображено на рис. 10.

*Ярусом дерева* назовем максимум ярусов его контактов. Занумеруем группы подсистемы  $\mathfrak{M}_{p, p'}^+$  (подсистемы  $\mathfrak{M}_{p, p'}^-$ ) числами  $i' = 1, \dots, k-1$ . Блок  $E_{p, p'}^+$  (блок  $E_{p, p'}^-$ ) является  $(k-1)$ -ярусным  $r$ -хомоморфическим деревом, в котором контакты  $i'$ -го яруса, выходящие из одного узла, имено-

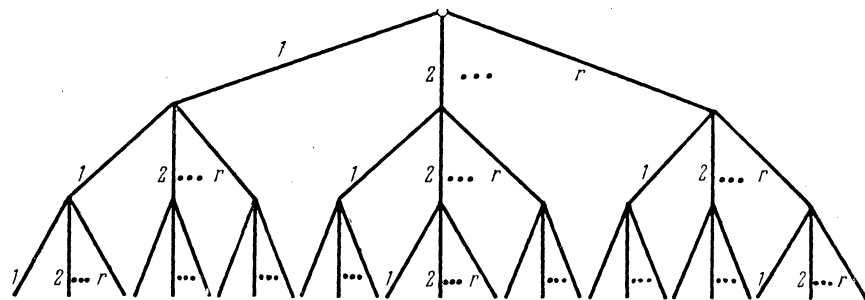


Рис. 10.

ваны всеми различными аргументами  $i'$ -й группы подсистемы  $\mathfrak{M}_{p, p'}^+$  (подсистемы  $\mathfrak{M}_{p, p'}^-$ ). Легко видеть, что

$$L(E_{p, p'}^+) = L(E_{p, p'}^-) = \frac{r^k - r}{r - 1}.$$

3) Блок  $U_{p, q}^+$  (блок  $U_{p, q}^-$ ) является  $(1, r^{k-1}, 1)$ -полюсником ( $(r^{k-1}, 1)$ -полюсником), реализующим всевозможные функции  $U_{p, q, \tilde{\varrho}}$  (функции  $U_{p, q, \tilde{\varrho}}$ ). Он получается в результате присоединения к выходу (входу) каждого блока  $V_{p, p', q}^+$  (блока  $V_{p, p', q}^-$ ) входа (выхода) блока  $E_{p, p'}^+$  (блока  $E_{p, p'}^-$ ) и объединения всех  $(p-1)$  выходов ( $(2k-p)$  входов) блоков  $E_{p, p'}^+$  (блоков  $E_{p, p'}^-$ ), соответствующих одному и тому же набору  $\tilde{\varrho}$  в выход (вход) блока  $U_{p, q}^+$  (блока  $U_{p, q}^-$ ).

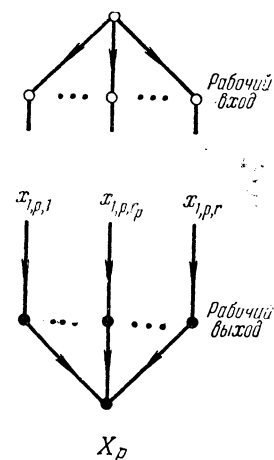


Рис. 11.

4) Блок  $D^+$  (блок  $D^-$ ) является дихотомическим деревом над  $\tilde{x}^+$  (над  $\tilde{x}^-$ ), реализующим всевозможные конъюнкции  $K_{\tilde{\sigma}^+}(\tilde{x}^+)$  (конъюнкции  $K_{\tilde{\sigma}^-}(\tilde{x}^-)$ );  $L(D^+) = L(D^-) = 2^{s+1} - 2$ .

5) Входной (выходной) блок блока  $A^{p, q}$  является  $(1, 2^s r^{k-1})$ -полюсником ( $(2^s r^{k-1}, 1)$ -полюсником), реализующим всевозможные функции  $U_{p, q, \tilde{\varrho}}^+ K_{\tilde{\sigma}^+}$  (функции  $U_{p, q, \tilde{\varrho}}^- K_{\tilde{\sigma}^-}$ ). Он получается в результате присоединения к каждому выходу (входу) блока  $U_{p, q}^+$  (блока  $U_{p, q}^-$ ) входа (выхода) блока  $D^+$  (блока  $D^-$ ).

6) Выходы и входы выходного и входного блоков блока  $A^{p, q}$  разбиваются в пары с одинаковыми наборами  $\tilde{\varrho}$ . Между входом и выходом каждой пары вставляется блок  $X_p$  (рис. 11). Всего имеется по  $2^s r^{k-1}$  блоков  $X_p$ . Назовем часть блока  $A^{p, q}$ , образованную блоками  $X_p$ , *рабочим блоком*, а вход (выход) каждого контакта из  $X_p$ , назовем *рабочим выходом* блока  $A^{p, q}$ .

Заметим, что проводимость блока  $A^{p, q}$  равна 0 (из-за последовательно включенных блоков  $V_{p, p', q}^+$  и  $V_{p, p'', q}^-$ ,  $p' > p$ ,  $p'' < p$ ).

По построению,

$$L(A^{p,q}) = 2kr^2(2k-1)T + (2k-1)\frac{r^k-r}{r-1} + 2r^{k-1}(2^{s+1}-2) + 2^s r^k.$$

Опишем теперь соединение блоков  $A^{p,q}$  вентилями.

Отметим сначала следующий факт. Пусть к схеме из параллельно соединенных блоков  $A^{p,q}$  присоединена некоторая вентильная схема, определяемая следующим образом: входами и выходами ее являются рабочие выходы и входы блоков  $A^{p,q}$  соответственно; цепи из вентилей имеются лишь, быть может, между блоками  $A^{p,q}, A^{p',q'}$ , где  $p, p' = 1, \dots, 2k$ ;  $q, q' = 1, \dots, T$ ;  $p < p'$ , при этом они всегда ориентированы от  $A^{p,q}$  к  $A^{p',q'}$ . Обозначим схему, получающуюся в результате такого соединения через  $\mathfrak{A}$ . Функцию, реализуемую схемой  $\mathfrak{A}$ , обозначим через  $g(\mathfrak{A})$ .

Пусть, далее, к схеме  $\mathfrak{A}$  присоединена вентильная схема  $\mathfrak{B}^{p_1, q_1, p'_1, q'_1}$ , в которой цепи из вентилей имеются лишь, может быть, между рабочими выходами блока  $A^{p_1, q_1}$  и рабочими входами блока  $A^{p'_1, q'_1}$ , где  $p_1, q_1, p'_1, q'_1$  — фиксированные и  $p_1 < p'_1$ , при этом они всегда ориентированы от  $A^{p_1, q_1}$  к  $A^{p'_1, q'_1}$ . Схему, получающуюся в результате такого соединения, обозначим через  $\mathfrak{A} \oplus \mathfrak{B}^{p_1, q_1, p'_1, q'_1}$ , а реализуемую ею функцию — через  $g(\mathfrak{A} \oplus \mathfrak{B}^{p_1, q_1, p'_1, q'_1})$ .

Из формулы (6.6) и определения блоков  $A^{p,q}$  следует, что для всякой функции  $\varphi(\tilde{x})$  такой, что

$$\varphi(\tilde{x}) V_{p_1, q_1, p'_1, q'_1} = \varphi(\tilde{x}),$$

существует некоторая вентильная схема  $\mathfrak{B}^{p_1, q_1, p'_1, q'_1}(\varphi)$  такая, что

$$\begin{aligned} g(\mathfrak{A} \oplus \mathfrak{B}^{p_1, q_1, p'_1, q'_1}(\varphi)) &= \varphi(\tilde{x}) \oplus \\ &\oplus g(\mathfrak{A}) \neg V_{p_1, q_1, p'_1, q'_1} \oplus \sum_{\substack{p'', q'' p''' q''' \\ (p''' - p'') < p'_1 - p}} V_{p'', q'', p''', q'''} h_{\mathfrak{A}}^{p'', q'', p''', q'''}(\tilde{x}), \end{aligned} \quad (6.12)$$

где  $h_{\mathfrak{A}}^{p'', q'', p''', q'''}$  — некоторые функции.

Докажем этот факт. Назовем *истинной цепью* цепь, соединяющую вход и выход схемы и проходящую только через два блока  $A^{p,q}, A^{p',q'}$ ,  $p < p'$ ; назовем *ложной цепью* цепь, содержащую контакты из более чем двух блоков  $A^{p,q}$  (на рис. 12 ложная цепь проходит через блоки  $A^{p,q}, A^{p'',q''}, A^{p',q'}$ ,  $p < p'' < p'$ ). Блок  $A^{p,q}$  с наименьшим  $p$ , через который проходит цепь (истинная или ложная), назовем *верхним*, а соответствующий блок с наибольшим  $p$  назовем *нижним* для данной цепи. Пусть блоки  $A^{p,q}, A^{p',q'}$  суть нижний и верхний блоки для данной цепи. Число  $p' - p$  назовем «длиной» данной цепи. Очевидно, при присоединении к схеме  $\mathfrak{A}$  вентиля между некоторыми рабочими выходом блока  $A^{p,q}$  и рабочим входом блока  $A^{p',q'}$  возникает одна новая истинная цепь «длины»  $p' - p$ , и могут возникнуть несколько новых ложных цепей «длины», большей чем  $p' - p$ . Так как проводимости цепей суммируются по mod 2, то, присоединяя к схеме  $\mathfrak{A}$  некоторый набор вентилей между блоками  $A^{p_1, q_1}$  и  $A^{p'_1, q'_1}$ , можно произвольно изменить сумму по mod 2 проводимостей всех истинных цепей, для которых блоки  $A^{p_1, q_1}$  и  $A^{p'_1, q'_1}$  суть верхний и нижний. При этом все возникающие новые ложные цепи будут иметь длину, большую чем  $p' - p$ . Отсюда следует указанный факт.

Равенство (6.12) позволяет описать схему для  $f^{(2)}(\tilde{x})$  как результат процесса присоединения к параллельно соединенным блокам  $A^{p,q}$  вентильных схем. Процесс состоит из  $2k-1$  шагов. На  $m$ -м шаге производится соединение вентилями рабочих выходов блоков  $A^{p,q}$  рабочими входами

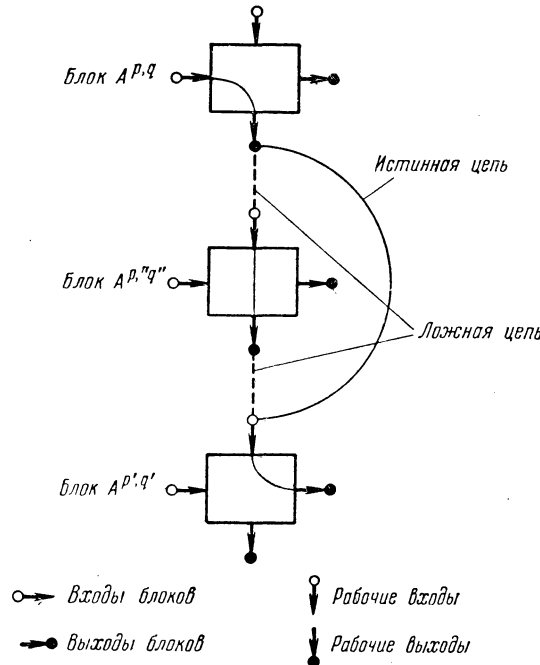


Рис. 12.

блоков  $A^{p',q'}$ , где  $p, p'=1, \dots, 2k; q, q'=1, \dots, T$  и  $p'-p=m$ . Функцию, реализуемую схемой после  $m$ -го шага, обозначим через  $f_m^{(2)}$ . Соединения таковы, что

$$f_m^{(2)} = \sum_{\substack{p, p' \\ (p'-p \leq m)}} V_{p, q, p', q'} f^{(2)} \oplus \sum_{\substack{p, p' \\ (p'-p > m)}} V_{p, q, p', q'} h^{p, q, p', q'} (\tilde{x}),$$

где  $h^{p, q, p', q'} (\tilde{x})$  — некоторые функции.

Таким образом, на  $m$ -м шаге ложные цепи, возникшие на предыдущих шагах, компенсируются до нужной функции (за счет сложения по  $\text{mod } 2$ ), а вновь возникающие ложные цепи будут компенсироваться на последующих шагах. На последнем шаге ложных цепей не возникает.

В силу отмеченного выше факта такие соединения всегда возможны.

Схема, получающаяся после  $(2k-1)$ -го шага, реализует функцию

$$f_{2k-1}^{(2)} (\tilde{x}) = f^{(2)}(\tilde{x}).$$

Имеем

$$L(n) \leq 2kT L(A^{p,q}) + 2kr^2 + 2Ckr 2^{n-r/2}.$$

Положим

$$k[\log_2 n], \quad r = \left[ \frac{1}{5} \frac{n}{\log_2 n} \right], \quad s = \frac{n}{2} - kr.$$

Тогда

$$L(n) \leq \sqrt{2} \cdot 2^{n/2}.$$

Для завершения доказательства теоремы заметим, что при  $n$  нечетном,  $n = 2kr + 2s + 1$ , блоки  $D^+, D^-$  строятся так же, как части схемы, изображенной на рис. 5, расположенные выше и ниже вентильной схемы. Число выходов (входов) схем  $D^+$  (схем  $D^-$ ) равно асимптотически  $2^{2s+1/2}$ ; эти схемы содержат асимптотически по  $2^{2s+1/2}$  контактов.

### § 7. Схемы в базисах, в которых $L(y_1 \oplus y_2 \oplus y_3) = 0$ , $L(y_1 \& y_2) = 1$

**Теорема 7.** Для схем в базисе  $\Lambda_j$

$$L(n) \sim 2^{n/2}.$$

**Доказательство.** Как уже отмечалось в § 3, достаточно получить верхнюю оценку в базисе  $\Lambda_4$ , асимптотически равную нижней оценке в базисе  $\Lambda_1$ .

Нижняя оценка для  $L(n)$  в базисе  $\Lambda_1$ . Как в § 3 (учетом «суммирования» по мод 2 параллельных ребер), сопоставим всякой схеме  $\mathfrak{A}$  граф  $Q(\mathfrak{A})$  и систему индексов его вершин.

Определим индексы ребер графа  $Q(\mathfrak{A})$  следующим образом. Занумеруем все подмножества множества входов элемента  $\varphi_w$  числами 0, 1, 2, 3.

*Индексом ребра  $(\overrightarrow{M_v}, \overrightarrow{M_w})$  при  $w \neq 0$  назовем номер подмножества множества входов элемента  $\varphi_w$ , на которые подается выход элемента  $\varphi_v$ . Ребрам  $(\overrightarrow{M_v}, \overrightarrow{M_0})$  припишем индекс 1.*

Граф  $Q(\mathfrak{A})$  и системы индексов его вершин и ребер однозначно определяют функцию, представляющую исходной схемой  $\mathfrak{A}$ .

Пусть схема  $\mathfrak{A}$  имеет вес  $h$  (т. е. содержит  $h$  элементов, реализующих конъюнкцию). Граф  $Q(\mathfrak{A})$  и система индексов его ребер однозначно определяются матрицей  $B = \{b_v^w\}_{\substack{v=1, \dots, h \\ w=0, 1, \dots, h}}$ , в которой

$$b_v^w = \begin{cases} 0, & \text{если в } Q(\mathfrak{A}) \text{ нет ребра } (\overrightarrow{M_v}, \overrightarrow{M_w}), \\ & \text{индексу ребра } (\overrightarrow{M_v}, \overrightarrow{M_w}), \text{ если имеется ребро } (\overrightarrow{M_v}, \overrightarrow{M_w}). \end{cases}$$

Вводя, как выше, обозначение  $S(h, n)$ , получим

$$S(h, n) \leq 4^{h(h-1)/2} 2^h 2^{2(n+1)h+n+1}.$$

Отсюда следует нижняя оценка.

Верхняя оценка для  $L(n)$  в базисе  $\Lambda_4$ .

Пусть  $n = 2kr + t + 1$ . Аргументы  $\tilde{x}$  разобьем на группы  $\tilde{x} = (\tilde{x}_1, \tilde{x}_2, z)$ , где  $\tilde{x}_1 = (\tilde{x}_{1,1}, \dots, \tilde{x}_{1,2k})$ ,  $\tilde{x}_{1,i} = (x_{1,i,1}, \dots, x_{1,i,r})$ ,  $r = 2^q$ , где  $q$  — целое число,  $i = 1, \dots, 2k$ ,  $\kappa(\tilde{x}_2) = t$ ,  $\kappa(z) = 1$ . Множество наборов  $\tilde{\sigma}_{1,i}$  разобьем на сферы радиуса 1, занумеруем их числами  $s = 1, \dots, \frac{2^r}{r}$  и обозначим символами  $\Theta^s$ .

Для набора, являющегося центром сферы  $\Theta_i^s$ , введем обозначение  $\tilde{\xi}^s = (\xi^{s,1}, \dots, \xi^{s,r})$ ; характеристическую функцию сферы  $\Theta_i^s$  будем обозначать тем же символом  $\Theta_i^s$ .

Введем представление функции, подходящее для ее схемной реализации. Как в § 5, введем множество  $\{h_\beta\}$ , граф  $H$ , функции  $\theta(p, q, p', q')$ ,  $g_{p,q}$ , наборы  $\tilde{\sigma}_2(p, q, p', q')$ , функции  $V_{p,q,p',q'}$ ,  $V_{p,p',q}^+$ ,  $V_{p,p',q}^-$ , подсистемы  $\mathfrak{M}_{p,p'}^+$ ,  $\mathfrak{M}_{p',p}^-$  и наборы  $\tilde{\omega}_{p,p'}$ ,  $\tilde{\omega}_{p',p}$ .

## Очевидно равенство

$$\sum_{\substack{\mu=0,1 \\ p,q,p',q' \\ (\mu < p')}} z^\mu V_{p,q,p',q'} K_{\widetilde{\sigma}_1}(\tilde{x}_1) = 1.$$

Умножая обе части на функцию  $f(\tilde{x})$ , получаем следующее представление функции  $f(\tilde{x})$ :

$$f(\tilde{x}) = \sum_{\substack{\mu \\ p, q, p', q' \\ \sigma_1 \\ (\theta(p, q, p', q')=1)}} z^\mu V_{p, q, p', q'} K_{\widetilde{\sigma}_1}(\tilde{x}_1) f[\widetilde{\sigma}_1, \widetilde{\sigma}_2(p, q, p', q'), \mu]. \quad (7.4)$$

Выше было установлено равенство

$$V_{p, q, p', q'} = V_{p, p', q}^+ V_{p', p, q}^- \quad (7.2)$$

(см. равенство (5.3)) и взаимно однозначное соответствие (при фиксированных  $p, p'$ ) между наборами  $\tilde{\sigma}_1$  и системами наборов  $(\tilde{\omega}_{p, p'}, \tilde{\omega}_{p', p}, \tilde{\sigma}_{1, p}, \tilde{\sigma}_{1, p'})$ , определяемое равенством

$$K_{\widetilde{\sigma}_1}(\tilde{x}_1) = K_{\widetilde{\omega}_{p, p'}}(\mathfrak{M}_{p, p'}^+) K_{\widetilde{\omega}_{p', p}}(\mathfrak{M}_{p', p}) K_{\widetilde{\sigma}_{1, p}}(\tilde{x}_{1, p}) K_{\widetilde{\sigma}_{1, p'}}(\tilde{x}_{1, p'}). \quad (7.3)$$

Из (7.3) получаем взаимно однозначное соответствие (при фиксированных  $p, p'$ ) между наборами  $\tilde{\sigma}_1$  и системами величин  $(\tilde{\omega}_{p, p'}, \tilde{\omega}_{p', p}, s, s', r_p, r_{p'})$ , определяемое равенством

$$K_{\widetilde{\omega}_p}(\widetilde{x}_1) = K_{\widetilde{\omega}_{p', p}}(\mathfrak{M}_{p', p}^+) K_{\widetilde{\omega}_{p', p}}(\mathfrak{M}_{p', p}^-) \Theta_p^s \Theta_{p'}^r x_1^{-\frac{s}{p}, r_p} x_1^{-\frac{s}{p'}, r_{p'}}. \quad (7.4)$$

В силу (7.2), (7.4) из (7.1) получаем следующее представление:

Здесь через  $\tilde{\sigma}_1(\tilde{\omega}, \tilde{\omega}', s, s', r_p, r_{p'})$  обозначен набор, сопоставляемый системе  $(\tilde{\omega}_{p,p'}, \tilde{\omega}_{p',p}, s, s', r_p, r_{p'})$  при данных  $p, p'$  по взаимно однозначному соответствию, определяемому равенством (7.4).

## Введем функции

$$W_{p, q, \tilde{\omega}, s}^+ = \sum_{\substack{p'' \\ (p < p'')}} K_{\tilde{\omega}}(\mathfrak{M}_{p, p''}^+) V_{p, p'', q}^+ \Theta_s^s,$$

$$W_{p, q, \widetilde{\omega}, s}^- = \sum_{\substack{p'' \\ (p'' < p)}} K_{\widetilde{\omega}}(\mathfrak{M}_{p, p''}^-) V_{p, p'', q}^- \Theta_p^s.$$

В силу (5.3) из (7.5) получаем следующее основное представление:

$$f(\tilde{x}) = \sum_{\substack{\mu=0,1 \\ \tilde{\omega}, \tilde{\omega}', s, s', r_p, r_{p'} \\ p < p' \\ \theta(p, q, p', q') = 1 \\ f[\tilde{\sigma}_1(\tilde{\omega}, \tilde{\omega}', s, s', r_p, r_{p'}), \tilde{\sigma}_2(p, q, p', q'), \mu] = 1}} z^\mu W_{p, q, \tilde{\omega}, s}^+ \& \\ \& x_1^{\neg \xi^{s, r_p}} W_{p', q', \tilde{\omega}', s'}^{\neg \xi^{s', r_{p'}}}. \quad (7.6)$$

Схема для  $f(\tilde{x})$  строится в соответствии с (7.6) следующим образом:

1. Блок  $C_0$  выдает константу 0, блок  $C_1$  выдает константу 1;  $L(C_0) + L(C_1) = 2$ .
2. Блок  $I$  выдает инверсии аргументов  $\neg x_i, i = 1, \dots, n; L(I) = 0$ .
3. Блок  $D$  выдает всевозможные функции  $u^\mu x_{1, p, r_p}^v, \mu, v = 0, 1; p = 1, \dots, 2k; r_p = 1, \dots, r; L(D) = 8kr$ .
4. Блок  $S$  выдает всевозможные функции  $\Theta_p^s, p = 1, \dots, 2k, s = 1, \dots, \frac{2^r}{r}; L(S) < 2k2^{r+1}$ .
5. Блоки  $M^+, M^-$  выдают всевозможные функции  $K_{\tilde{\omega}}(\mathcal{M}_{p, p'}^+), K_{\tilde{\omega}}(\mathcal{M}_{p, p'}^-); L(M^+) = L(M^-) \leq 8k^2 2^{r(k-1)}$ .
6. Блок  $V$  выдает всевозможные функции  $K_{\tilde{\sigma}_2}(\tilde{x}); L(V) < 2^{t+1}$ .
7. Блоки  $V^+, V^-$  выдают всевозможные функции  $V_{p, p', q}^+, V_{p, p', q}^-; p, p' = 1, \dots, 2k; q, q' = 1, \dots, T; L(V^+) = L(V^-) = 0$ .
8. Блоки  $W^+, W^-$  выдают всевозможные функции  $W_{p, q, \tilde{\omega}, s}^+, W_{p, q, \tilde{\omega}, s}^-; L(W^+) + L(W^-) < 8k^2 T \frac{2kr}{r}$ .
9. Блок  $A$  выдает функцию  $f(\tilde{x})$  и состоит из  $2kT$  соединенных между собой блоков  $A^{p, q}$ .

Блок  $A^{p, q}$  состоит из  $\frac{2^{kr}}{r}$  блоков  $X_{\tilde{\omega}, s}^{p, q}$ . Блок  $X_{\tilde{\omega}, s}^{p, q}$  имеет следующее строение. Занумеруем  $r$  элементов, реализующих конъюнкцию, числами  $u = 1, \dots, r$ , обозначим эти элементы символами  $K_{\tilde{\omega}, s, u}^{p, q}$ . Введем одно общее определение. Будем говорить, что выход элемента  $\varphi_v$  подается на выход элемента  $\varphi_w$ , если выход элемента  $\varphi_v$  подается во все узлы схемы, в которые подается выход элемента  $\varphi_w$ . На один вход элемента  $K_{\tilde{\omega}, s, u}^{p, q}$  подаем функцию  $zx_1^{\neg \xi^{s, u}}$ , на другой — функцию  $(\neg z)x_1^{\neg \xi^{s, u}}$ . Функцию  $W_{p, q, \tilde{\omega}, s}^+$  подаем на оба входа и на выход каждого элемента  $K_{\tilde{\omega}, s, u}^{p, q}, u = 1, \dots, r$ . Выходы всех элементов  $K_{\tilde{\omega}, s, u}^{p, q}$  подаем на один вход элемента, реализующего конъюнкцию (обозначим этот элемент через  $K_{\tilde{\omega}, s}^{p, q}$ ), на другой вход которого подаем функцию  $W_{p, q, \tilde{\omega}, s}^-$ . Выходы всех элементов  $K_{\tilde{\omega}, s}^{p, q}$  подаем на выход блока  $A^{p, q}$  (рис. 13).

Входы элементов  $K_{\tilde{\omega}, s, u}^{p, q}$  назовем *рабочими входами*, выходы — *рабочими выходами* блока  $A^{p, q}$ . Блок  $A^{p, q}$  имеет  $2^{rk+1}$  рабочих входов и  $2^{rk}$  рабочих выходов.

По построению,

$$L(A^{p, q}) = 2^{rk} \left( 1 + \frac{1}{r} \right).$$

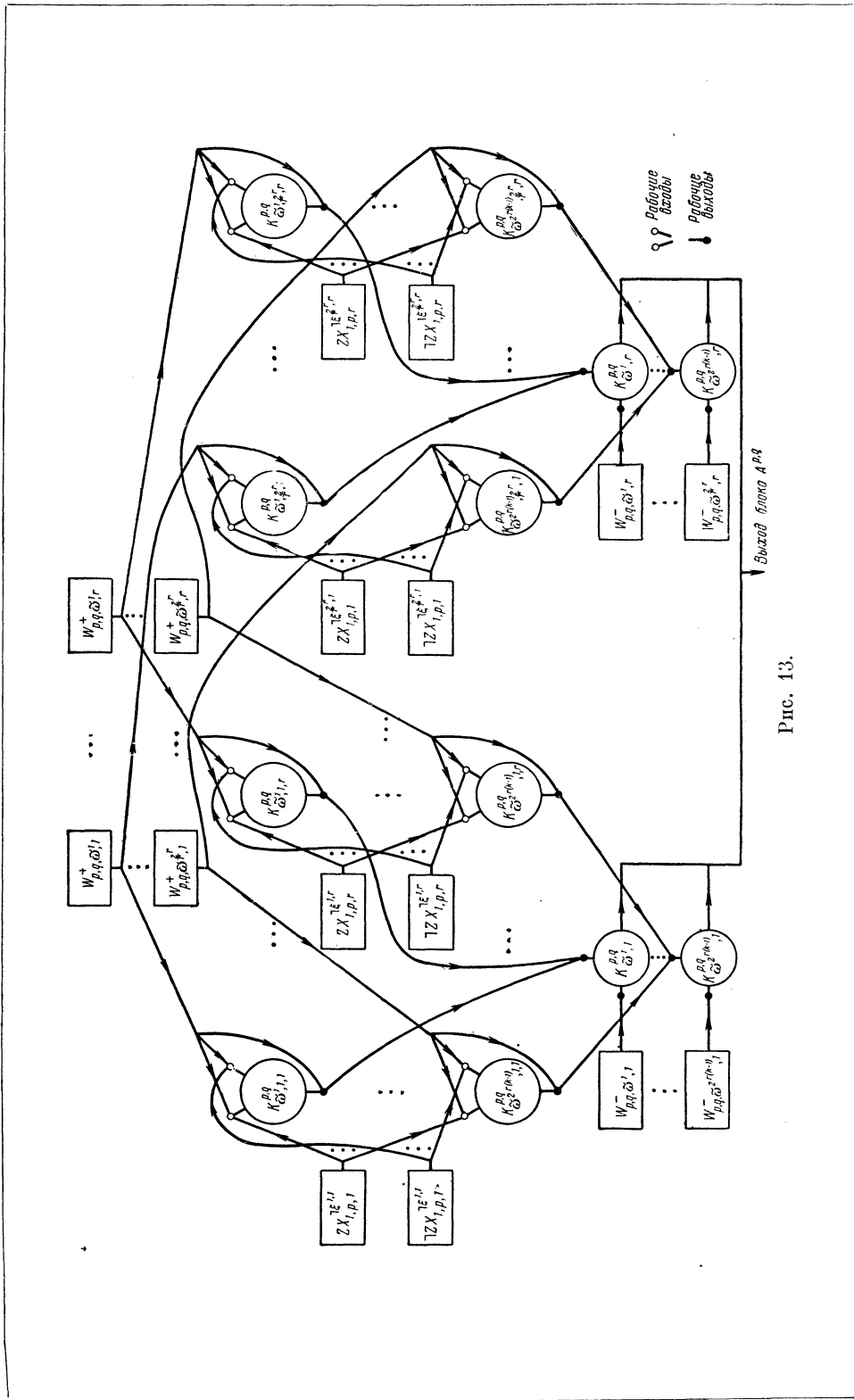


Рис. 13.

При синтезе схемы для  $f(\tilde{x})$  выходы всех блоков  $A^{p, q}$  подаем на выход схемы и некоторые рабочие выходы блоков  $A^{p, q}$  подаем на некоторые рабочие входы и выходы блоков  $A^{p', q'}$ , где  $p < p'$ .

Соединение блоков показано на рис. 14. Блок  $C_0$  на рис. 14 не показан, его выходы подаются на некоторые входы элементов, реализующих конъюнкцию, так, чтобы в результате на каждый вход каждого такого элемента подавалось нечетное число узлов.

Отметим факт, подобный установленному в предыдущем параграфе. Пусть схема  $\mathfrak{A}$ , построенная описанным выше методом синтеза, реализует функцию  $g(\mathfrak{A})$ . Из формулы (7.6) и определения блоков  $A^{p, q}$  следует,

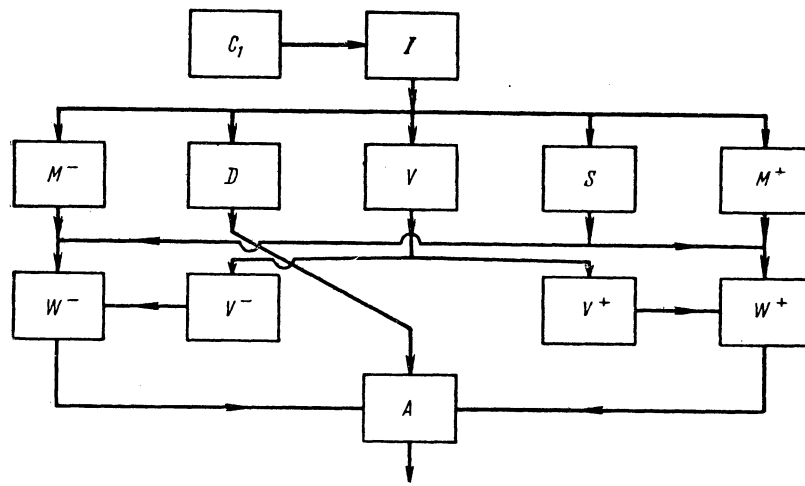


Рис. 14.

что для всякой функции  $\varphi(\tilde{x})$  и для всяких фиксированных  $p_1, q_1, p'_1, q'_1$  где  $p_1 < p'_1$ , всегда можно так изменить соединения рабочих выходов блока  $A^{p_1, q_1}$  с рабочими входами и выходами блока  $A^{p'_1, q'_1}$ , не изменяя других соединений, что новая схема будет реализовать функцию

$$g'(\tilde{x}) = \varphi(\tilde{x}) V_{p_1, q_1, p'_1, q'_1} \oplus g(\mathfrak{A}) \neg V_{p_1, q_1, p'_1, q'_1} \oplus \sum_{\substack{p''_1, q''_1, p'''_1, q'''_1 \\ (p'''_1 - p''_1) > p'_1 - p_1}} V_{p''_1, q''_1, p'''_1, q'''_1} h_{\mathfrak{A}}^{p''_1, q''_1, p'''_1, q'''_1}(\tilde{x}). \quad (7.7)$$

Последнее равенство позволяет описать схему для  $f(\tilde{x})$  как результат процесса соединения блоков  $A^{p, q}$  с блоками  $A^{p', q'}$ , аналогичного процессу, описанному в предыдущем параграфе.

Имеем

$$L(n) \leq 2 + 8kr + k2^{r+2} + 8k^22^{r(k-1)} + 8k^2T \frac{2^{kr}}{r} + 2kT2^{rk} \left(1 + \frac{1}{r}\right).$$

Выберем параметры  $r, k, t$  так, чтобы  $r \rightarrow \infty, k \rightarrow \infty, t \rightarrow \infty, \frac{n}{2} - t \rightarrow \infty$ . Для этого положим

$$Q = [\log_2 n - \log_2 \log_2 n], \quad k = \left[ \frac{3}{8} \frac{n}{r} \right], \quad t = n - 2kr - 1.$$

Тогда  $L(n) \leq n^{3/8} 2$ . Теорема доказана.

## ЛИТЕРАТУРА

- [1] Яблонский С. В., Основные понятия кибернетики, сб. «Проблемы кибернетики», вып. 2, М., Физматгиз, 1959, 1—38.
- [2] Shapnoff C. E., The synthesis of two-terminal switching circuits, Bell Syst. Techn I. 28, 1, 1949, 59—98.
- [3] Лупанов О. Б., Об одном методе синтеза схем, Известия высших учебных заведений, Радиофизика 1, 1, 1958, 120—140.
- [4] Лупанов О. Б., О вентильных и контактно-вентильных схемах, ДАН 111, 6, 1956, 1171—1174.
- [5] Лупанов О. Б., О синтезе контактных схем, ДАН 119, 1, 1958, 23—26.
- [6] Маркова А. А., Об инверсионной сложности систем функций, ДАН 116, 6, 1957, 917—919.
- [7] Нечипорук Э. И., О многополюсниках, реализующих функции многозначной логики, сб. «Проблемы кибернетики», вып. 5, М., Физматгиз, 1961, 49—60.
- [8] Поваров Г. Н., О групповой инвариантности булевых функций, Применение логики в науке и технике, М., изд-во АН СССР, 1960, 263—340.
- [9] Post E. L., Two-valued iterative systems of mathematical logic, Annals of Math. Studies 5, Princeton Univ. Press; Princeton—London, 1941.
- [10] Кузнецов А. В., О бесповторных контактных схемах и бесповторных суперпозициях функций алгебры логики, Труды Математического института им. В. А. Стеклова АН СССР 51, 1958, 186—225.
- [11] Жегалкин И. И., О технике вычислений предложений в символической логике, Математический сборник 34, 1927, 9—28.
- [12] Кричевский Р. Е., О реализации функций суперпозициями, сб. «Проблемы кибернетики», вып. 2, М., Физматгиз, 1959, 123—138.
- [13] Нечипорук Э. И., О сложности суперпозиций в базисах, содержащих нетривиальные линейные формулы с нулевыми весами, ДАН 136, 1961, 560—563.
- [14] Нечипорук Э. И., О синтезе R-схем, ДАН 136, 6, 1961, 1078—1081.
- [15] Нечипорук Э. И., О сложности схем в некоторых базисах, содержащих нетривиальные элементы с нулевыми весами, ДАН 139, 6, 1961, 1302—1303.

Поступило в редакцию 17 VI 1961